



ผลของการเติมวัสดุเสริมแรงต่อการด้านทานแรงดัดโค้ง ความแข็งผิว
และแรงยึดเฉือนของวัสดุซี่ฟันเทียมอะคริลิก

EFFECT OF FILLERS ON FLEXURAL STRENGTH SURFACE HARDNESS
AND SHEAR BOND STRENGTH OF ACRYLIC TOOTH MATERIAL

นางสาวกานพร ศรีวิชา รหัส 53364659
นายวุฒิชัย มน้อย รหัส 53364864

ปริญญาบัณฑิตนี้เป็นส่วนหนึ่งของการศึกษาหลักสูตรปริญญาวิศวกรรมศาสตรบัณฑิต^๑
สาขาวิชาวิศวกรรมเคมี ภาควิชาวิศวกรรมอุตสาหการ
คณะวิศวกรรมศาสตร์ มหาวิทยาลัยนเรศวร
ปีการศึกษา 2556

ที่เบอร์โทรศัพท์/มือถือ	26 ๔๔/๕๒
ที่พำนัช	16550204
จังหวัด	มร.
บ้านเลขที่	๗๑๒
ถนน	2556



ใบรับรองปริญญาบัตร

ชื่อหัวข้อโครงการ

ผลของการเติมวัสดุเสริมแรงต่อการต้านทานแรงดัดโค้ง ความแข็งผิว
และแรงยึดเมื่อของวัสดุซึ่พื้นเที่ยมอะคริลิก

ผู้ดำเนินโครงการ

นางสาวกนพร ศรีวิชา รหัส 53364659
นายวุฒิชัย นาโนย รหัส 53364864

ที่ปรึกษาโครงการ

ดร.นพวรรณ ไม้ทอง

ที่ปรึกษาร่วมโครงการ

Dr.Gareth Michael Ross

สาขาวิชา

วิศวกรรมเคมี

ภาควิชา

วิศวกรรมอุตสาหการ

ปีการศึกษา

2556

คณะวิศวกรรมศาสตร์ มหาวิทยาลัยนเรศวร อนุมัติให้ปริญญาบัตรนี้เป็นส่วนหนึ่ง
ของการศึกษาตามหลักสูตรวิศวกรรมศาสตรบัณฑิต สาขาวิชาวิศวกรรมเคมี

.....ที่ปรึกษาโครงการ

(ดร.นพวรรณ ไม้ทอง)

.....กรรมการ

(ดร.อิศราวด ประเสริฐสังข์)

.....กรรมการ

(อาจารย์อาภากรณ์ จันทร์ปรักษ์)

.....กรรมการ

(ดร.ภัทรรัตน์ จันธรรม)

.....กรรมการ

(ดร.นิคม กลมเกลี้ยง)

ชื่อหัวข้อโครงการ	ผลของการเติมวัสดุเสริมแรงต่อการต้านทานแรงดัดโค้ง ความแข็งผิว และแรงยึดเดือนของวัสดุซี่ฟันเทียมอะคริลิก			
ผู้ดำเนินโครงการ	นางสาวกนกพร ศรีวิชา	รหัส 53364659		
	นายวุฒิชัย นาน้อย	รหัส 53364864		
ที่ปรึกษาโครงการ	ดร.นพวรรณ ไม้ทอง			
ที่ปรึกษาร่วมโครงการ	Dr.Gareth Michael Ross			
สาขาวิชา	วิศวกรรมเคมี			
ภาควิชา	วิศวกรรมอุตสาหการ			
ปีการศึกษา	2556			

บทคัดย่อ

งานวิจัยนี้ศึกษาสมบัติเชิงกลของซี่ฟันเทียมอะคริลิกที่มีการเสริมแรงด้วยวัสดุเสริมแรง 3 ชนิด คือ ชิลิกอนไดออกไซด์ อลูมิเนียมออกไซด์ และไทเทเนียมไดออกไซด์ รวมทั้งศึกษาขนาดของวัสดุเสริมแรงของชิลิกอนไดออกไซด์ขนาด 15 นาโนเมตร และ 40 ไมโครเมตร ที่มีผลต่อสมบัติเชิงกล และเปรียบเทียบระหว่างวัสดุเสริมแรงที่ไม่ได้ปรับสภาพผิวกับวัสดุเสริมแรงที่ปรับสภาพผิวด้วยไชเลน

การเสริมแรงด้วยวัสดุเสริมแรงในเรซินอะคริลิกจะแบ่งเป็นชิลิกอนไดออกไซด์ขนาด 15 นาโนเมตรและไทเทเนียมไดออกไซด์ โดยจะใช้ปริมาณในการเติมที่ร้อยละ 1 2.5 และ 5 โดยน้ำหนัก ในส่วนของชิลิกอนไดออกไซด์ขนาด 40 ไมโครเมตร และอลูมิเนียมออกไซด์ใช้ปริมาณการเติมร้อยละ 1 5 และ 10 โดยน้ำหนัก ข้อมูลถูกวิเคราะห์ความแปรปรวนทางสถิติ ANOVA ด้วยเลขนัยสำคัญ 0.05 จากผลการทดสอบสมบัติแรงยึดติดเฉือน พบร่วมกับการเติมวัสดุเสริมแรงชนิดอลูมิเนียมออกไซด์ที่ 1 %wt/v ให้ค่าสมบัติแรงยึดติดเฉือนเฉลี่ยสูงสุดเท่ากับ 10.93 MPa แต่มีค่าต่ำกว่าเรซินอะคริลิกที่ไม่มีการเสริมแรงอย่างมีนัยสำคัญ ($P<0.05$) และที่การทดสอบการต้านทานแรงดัดโค้ง พบร่วมกับการเติมวัสดุเสริมแรงอลูมิเนียมออกไซด์ที่ 1 %wt/v ให้ค่าแรงดัดโค้งเฉลี่ยสูงสุดเท่ากับ 101.59 MPa แต่เมื่อมีการปรับสภาพผิววัสดุเสริมแรงด้วยไชเลนจะทำให้ค่าการต้านทานแรงดัดโค้งลดลงเท่ากับ 97.33 MPa ยกเว้นที่การเติมวัสดุเสริมแรงด้วยชิลิกอนไดออกไซด์ที่ทำให้ค่าสมบัติการต้านทานแรงดัดโค้งเพิ่มขึ้นทุกร้อยละการเติม ส่วนการทดสอบความแข็งผิววิกเกอร์ พบร่วมกับการเติมวัสดุเสริมแรงอะลูมิเนียมออกไซด์ที่ 1 %wt/v จะให้ค่าความแข็งผิวเฉลี่ยสูงสุดเท่ากับ 19.43 HV โดยที่การปรับสภาพผิวด้วยไชเลนช่วยเพิ่มสมบัติความแข็งผิวของเรซินอะคริลิกที่เสริมแรงด้วยชิลิกอนไดออกไซด์เท่านั้น แต่จะไม่มีผลกับวัสดุเสริมแรงชนิดอื่นอย่างมีนัยสำคัญ

กิตติกรรมประกาศ

ปริญญาอิพนธบบบันสำเร็จลุล่วงไปได้ด้วยความช่วยเหลือของหลายๆ ฝ่าย โดยเฉพาะ ดร.นพวรรณ โน้มทอง อาจารย์ที่ปรึกษาโครงการ ที่ได้ให้คำแนะนำ คำปรึกษา แนะนำวิธีแก้ปัญหา รวมถึงข้อคิดเห็นต่างๆ ตลอดจนความคุ้มแลเอาใจใส่ ติดตามการดำเนินโครงการมาโดยตลอด และขอขอบคุณอาจารย์ที่ปรึกษาโครงการร่วม Dr.Gareth Michael Ross ที่ให้ข้อเสนอแนะเพิ่มเติมทำให้ ปริญญาอิพนธบบบันนี้มีความถูกต้องสมบูรณ์ยิ่งขึ้นและขอบคุณคณะอาจารย์ประจำภาควิชา วิศวกรรมอุตสาหการ มหาวิทยาลัยนเรศวรทุกท่าน ที่ได้ให้วิชาความรู้ เพื่อนำมาประยุกต์ใช้ในการทำ ปริญญาอิพนธบบบันนี้

นอกจากนี้ต้องขอบคุณ คณะทันตกรรม มหาวิทยาลัยนเรศวร อาจารย์ และบุคลากรทุกท่าน ที่ได้ให้ความอนุเคราะห์ในการเข้าไปใช้สถานที่และเครื่องมือสำหรับการขึ้นรูปชิ้นงานเพื่อใช้ในการทำปริญญาอิพนธบบบันนี้เป็นอย่างดีมาโดยตลอด

สุดท้ายนี้ผู้ดำเนินโครงการครรช่องของบุคุณ บิตา มารดา ที่ได้ให้การดูแล อบรม สั่งสอน และให้กำลังใจด้วยดีเสมอมา ตลอดการดำเนินโครงการจนสำเร็จการศึกษา

ผู้ดำเนินโครงการ

นางสาวกนกพร ศรีวิชา

นายวุฒิชัย นาน้อย

ธันวาคม 2556

สารบัญ

	หน้า
ใบรับรองปริญญานิพนธ์.....	ก
บทคัดย่อ.....	ข
กิตติกรรมประกาศ.....	ค
สารบัญ.....	ง
สารบัญตาราง.....	ฉ
สารบัญรูป.....	ช
บทที่ 1 บทนำ.....	1
1.1 ความเป็นมาและความสำคัญของโครงการ.....	1
1.2 วัตถุประสงค์ของโครงการ.....	2
1.3 ขอบเขตในการดำเนินโครงการ.....	2
1.4 สถานที่ในการดำเนินโครงการ.....	3
1.5 ระยะเวลาในการดำเนินโครงการ.....	3
1.6 ขั้นตอนและแผนการดำเนินโครงการ.....	3
บทที่ 2 ทฤษฎีเบื้องต้นและงานวิจัยที่เกี่ยวข้อง.....	4
2.1 งานวิจัยที่เกี่ยวข้อง.....	4
2.2 ทฤษฎีเบื้องต้น.....	7
2.3 ทฤษฎีการทดสอบสมบัติเชิงกล.....	17
บทที่ 3 วิธีการดำเนินโครงการ.....	24
3.1 สารเคมีและวัสดุที่ใช้ในโครงการ.....	24
3.2 เครื่องมือที่ใช้ในการทดลอง.....	24
3.3 การเตรียมชิ้นงานทดสอบ.....	24
3.4 การทดสอบสมบัติเชิงกลของชิ้นงานทดสอบ.....	29
บทที่ 4 ผลการทดลองและวิเคราะห์.....	32
4.1 ผลการทดสอบสมบัติการต้านทานแรงดึง.....	32
4.2 ผลการทดสอบสมบัติความแข็งผิววิกเกอร์.....	36
4.3 ผลการทดสอบสมบัติแรงยึดเฉือน.....	40

สารบัญ (ต่อ)

	หน้า
บทที่ 5 บทสรุปและข้อเสนอแนะ.....	43
5.1 สรุปผลการทดลอง.....	43
5.2 ข้อเสนอแนะ.....	44
เอกสารอ้างอิง.....	45
ภาคผนวก ก.....	48
ภาคผนวก ข.....	63



สารบัญตาราง

ตารางที่	หน้า
1.1 ขั้นตอนและแผนการดำเนินโครงการ.....	3
2.1 สมบัติทางกายภาพทั่วไปของชิลิกอนไดออกไซด์.....	11
2.2 สมบัติทางกายภาพทั่วไปของไทเทเนียมไดออกไซด์.....	13
2.3 ข้อกำหนดของซีฟันเทียมอะคริลิก.....	17
2.4 การทดลองประเภทวิเคราะห์ปัจจัยเดียว (Experiments with Single Factor).....	20
2.5 One-Way ANOVA.....	21
2.6 แสดงการทดลองการวิเคราะห์ความแปรปรวนสองทาง.....	22
2.7 Two-Way ANOVA.....	23
ก.1 ผลการทดสอบสมบัติแรงต้านทานการดัดโค้งของเรซินอะคริลิก.....	49
ก.2 ผลการทดสอบสมบัติความแข็งผิวของเรซินอะคริลิก.....	53
ก.3 ผลการทดสอบสมบัติแรงยึดติดเมื่อเอ็นของเรซินอะคริลิก.....	58
ข.1 ผลการวิเคราะห์ ANOVA สมบัติการต้านทานแรงดัดโค้งของเรซินอะคริลิก.....	64
ข.2 ผลการวิเคราะห์ ANOVA สมบัติค่าความแข็งผิวของเรซินอะคริลิก.....	67
ข.3 ผลการวิเคราะห์ ANOVA สมบัติแรงยึดติดเมื่อเอ็นของเรซินอะคริลิก.....	70
ข.4 ตารางค่าวิกฤติแจกแจง F ที่เลขนัยสำคัญเท่ากับ 0.05.....	73

สารบัญรูป

รูปที่	หน้า
2.1 แสดงค่าความแข็งวิกเกอร์ของชิ้นเทียนชนิดต่างๆ.....	4
2.2 แสดงการต้านทานแรงดัดโค้งของเรซินอะคริลิกที่เสริมแรง.....	5
2.3 แสดงความแข็งวิกเกอร์ของเรซินอะคริลิกที่เสริมแรง.....	6
2.4 แสดงค่าการต้านทานแรงดัดโค้งและความแข็งวิกเกอร์.....	6
2.5 โครงสร้างของพอลิเมทิลเมทาคริเลต.....	9
2.6 แสดงการแทรกของอะลูมีนาในช่องอุกตะหีดรอล.....	11
2.7 ลักษณะโครงสร้างของ 3-MPS.....	14
2.8 การปรับสภาพพื้นผิวของชิลิกอนไดออกไซด์.....	15
2.9 การปรับสภาพพื้นผิวของอะลูมิเนียมไดออกไซด์.....	16
2.10 การปรับสภาพพื้นผิวของไทเทเนียมไดออกไซด์.....	16
2.11 ลักษณะหัวกดและรอยกดของการวัดความแข็งวิกเกอร์.....	17
2.12 แสดงแผนผังการทดสอบการต้านทานแรงดัดโค้ง.....	18
2.13 แสดงการทดสอบแรงยึดเนื่อง.....	19
3.1 ชุดอุปกรณ์ขั้นรูปชิ้นทดสอบ.....	25
3.2 การเตรียมเบ้าหล่อแบบ.....	25
3.3 เรซินอะคริลิกที่เสริจสิ้นกระบวนการเตรียมแล้ว.....	26
3.4 แผนผังการดำเนินงาน.....	27
3.5 แผนผังการเติมวัสดุเสริมแรง.....	28
3.6 การทดสอบสมบัติความแข็งผิว.....	29
3.7 ขนาดชิ้นทดสอบความแข็งผิว.....	29
3.8 การทดสอบสมบัติการต้านทานแรงดัดโค้ง.....	30
3.9 ขนาดชิ้นทดสอบตามมาตรฐาน ISO/FDSI 1567.....	30
3.10 การทดสอบสมบัติการต้านทานแรงดัดโค้ง.....	31
3.11 ขนาดชิ้นทดสอบแรงยึดเนื่อง.....	31
4.1.1 แผนภูมิแสดงผลของชนิดและปริมาณวัสดุเสริมแรงต่อการต้านทานแรงดัดโค้ง.....	32
4.1.2 แผนภูมิแสดงผลของขนาดวัสดุเสริมแรงต่อการต้านทานแรงดัดโค้ง.....	34
4.1.3 แผนภูมิแสดงผลของการปรับสภาพผิวของวัสดุเสริมแรงต่อการต้านทานแรงดัดโค้ง.....	35
4.2.1 แผนภูมิแสดงผลของชนิดและปริมาณวัสดุเสริมแรงต่อความแข็งผิววิกเกอร์.....	36
4.2.2 แผนภูมิแสดงผลของขนาดวัสดุเสริมแรงต่อความแข็งผิววิกเกอร์.....	38
4.2.3 แผนภูมิแสดงผลของการปรับสภาพผิวของวัสดุเสริมแรงต่อความแข็งผิววิกเกอร์.....	39

สารบัญรูป (ต่อ)

รูปที่	หน้า
4.3.1 แผนภูมิแสดงผลของชนิดและปริมาณวัสดุเสริมแรงต่อสมบัติแรงยีดเฉือน.....	40
4.3.2 แผนภูมิแสดงผลของขนาดวัสดุเสริมแรงต่อสมบัติแรงยีดเฉือน.....	41



บทที่ 1

บทนำ

1.1 ความเป็นมาและความสำคัญของโครงการ

ปัจจุบันในประเทศไทยได้มีจำนวนผู้ป่วยที่ต้องการการใส่ฟันเทียม (Denture Teeth) เพิ่มขึ้นอยู่มาก ซึ่งหากสามารถผลิตพันเทียมขึ้นภายในประเทศไทยได้ จะสามารถลดจำนวนการนำเข้าจากต่างประเทศได้มาก การนำเอารีซินอะคริลิก (Acrylic Resin) ซึ่งเป็นวัสดุทางพอลิเมอร์มาใช้ในทางทันตกรรมได้มีการแนะนำให้รู้จักกับตลาดทางการค้าในปี ค.ศ. 1937 ตั้งแต่นั้นมาก็ได้รับความนิยมอย่างกว้างขวางในอุตสาหกรรม เนื่องจากมีกระบวนการผลิตที่ง่ายไม่ซับซ้อนและต้นทุนในการผลิตต่ำ แม้สมบัติของวัสดุผลิตพันเทียมชนิดอะคริลิกจะมีข้อดีน้อยกว่าวัสดุชนิดอื่นๆ แต่ก็ยังคงเป็นทางเลือกที่นิยมมากที่สุดในปัจจุบัน [1]

ซึ่งพันเทียมชนิดเรซินอะคริลิก (Acrylic Denture Teeth) ได้รับความนิยมในการนำมาใช้ทดแทนฟันธรรมชาติที่สูญเสียไปของผู้ป่วย เนื่องจากสีสันเหมือนฟันธรรมชาติ ราคายังไม่แพงจนเกินไปสามารถยึดติดกับฐานฟันปลอมได้ดี กรอบแต่งได้ง่ายโดยไม่แตกหัก เมื่อพิจารณาความแข็งผิวของซึ่งพันเทียมอะคริลิกจะพบว่ามีความแข็งผิวน้อยกว่าชนิดอื่นๆ จึงไม่ทนต่อการสึกหรอที่เกิดจากการขัดสี ไม่ว่าจากการบดเคี้ยวอาหารและการประบูรฟันทำความสะอาด เป็นเหตุให้ซึ่งพันปลอมสึกเรื้อรัง ทำให้ประสิทธิภาพในการบดเคี้ยวอาหารลดลง

ปัญหาหลักของวัสดุผลิตซึ่งพันเทียมอะคริลิกในปัจจุบัน คือ วัสดุที่ได้มักมีความแข็งผิวที่ต่ำกว่าฟันเทียมในห้องตลาดและมีการต้านทานแรงดัดโค้งตื้อยกกว่า จึงเป็นปัญหาหลักๆ ของซึ่งพันประเภทนี้ การนำวัสดุเสริมแรงมาใช้ในการเพิ่มสมบัติทางกลของซึ่งพันเทียมอะคริลิกนั้น เป็นอีกทางเลือกของการปรับปรุงสมบัติของซึ่งพันเทียมอะคริลิกให้มีความแข็งผิวและการต้านทานแรงดัดโค้งใกล้เคียงกับฟันเทียมตามท้องตลาดให้มากที่สุด

ปัญหาเหล่านี้สามารถแก้ไขได้โดยการปรับปรุงสมบัติทางกลของวัสดุ โดยในปัจจุบันมีนักวิจัยได้ทำการศึกษาเกี่ยวกับการหาวัสดุเสริมแรงมาช่วยเพิ่มสมบัติของวัสดุผลิตซึ่งพันเทียมให้มีความแข็งแรงมากขึ้น [2] โดยวัสดุเสริมแรงที่นิยมใช้เพื่อเพิ่มสมบัติเชิงกลให้แก้วัสดุทางทันตกรรมนั้น จะเป็นสารจำพวกซิลิกา อลูมินา เซอร์โคเนียมออกไซด์ และไทเทเนียมออกไซด์ เป็นต้น

วัสดุเสริมแรงที่เลือกใช้สำหรับเสริมแรงในงานวิจัยนี้ ทางผู้จัดทำจะเลือกใช้ทั้งหมด 3 ชนิด ได้แก่ ซิลิกอนไดออกไซด์ อลูมิเนียมออกไซด์ และไทเทเนียมออกไซด์ เพื่อให้ตรงกับจุดประสงค์ของงานวิจัย ที่ทำการศึกษาถึงความแข็งผิว การต้านทานแรงดัดโค้ง เนื่องจากสาร 3 ชนิดนี้ มีสมบัติเด่น [3] คือ เมื่อนำมาใช้กับพลาสติกจะช่วยเสริมความแข็งแรงให้กับพลาสติก ช่วยเพิ่มเสถียรภาพทางรูปร่างที่อุณหภูมิสูง ช่วยลดการหดตัว การเกิดรอยแตก และช่วยเพิ่มความทนทานต่อการขีดข่วน

(Scratch Resistance) และเป็นสารที่ใช้กันแพร่หลายในอุตสาหกรรม หาก็ได้ง่าย ความเหมาะสมสมของราคาจึงเป็นข้อดีที่เลือกใช้ชิลิกา อลูมีนา และไทเทเนียมออกไซด์เป็นวัสดุเสริมแรง

เพื่อให้ชิลิกา อลูมีนา และไทเทเนียมได้ออกไซด์สามารถกระจายตัวได้ดีในพอลิเมอร์ จะต้องปรับแต่งพื้นผิวของวัสดุเสริมแรงด้วยไชเลนเสียก่อนและเพื่อเพิ่มความสามารถในการยึดติดกับฐานพื้นเทียมให้ดียิ่งขึ้น ซึ่งไชเลนที่เหมาะสมสำหรับชิลิกาที่ใช้กับอีพอกซีเรซิน ได้แก่ อะมีโนหรืออีพอกซีไชเลน ส่วนไชเลนที่เหมาะสมสำหรับชิลิกาที่ใช้กับไนลอนและเทอร์โมพลาสติกพอลิเอสเตอร์ คือ อะมีโนไชเลน ในที่นี้ ไชเลนที่เราเลือกใช้เป็นสารคุณภาพชนิด 3-เมทาคริลอกซีโพร์พิลไทรเมทอกซีชิลิก

ดังนั้นการศึกษาคุณสมบัติการต้านทานแรงดัดโค้ง ความแข็งผิว และแรงยึดติดเฉือนจึงเป็นสิ่งที่น่าสนใจ งานวิจัยนี้จึงได้ทำการศึกษาเปรียบเทียบการต้านทานแรงดัดโค้ง ความแข็งผิว และแรงยึดติดเฉือนของเรซินอะคริลิกที่ใช้ทำเข็มเทียม เมื่อเสริมวัสดุเสริมแรงชนิดต่างๆ ลงไป อย่างไรก็ตาม สัดส่วนในการเติมวัสดุเสริมแรงอาจมีผลต่อคุณสมบัติดังกล่าว งานวิจัยนี้จึงได้ศึกษาปริมาณในการเติมวัสดุเสริมแรงและการปรับสภาพผิววัสดุเสริมแรงรวมทั้งเปรียบเทียบคุณสมบัติดังกล่าวกับเรซินอะคริลิกชนิดป่มตัวด้วยความร้อนที่นิยมใช้ในทางทันตกรรม การศึกษาเปรียบเทียบทั้งหมดนี้ก็เพื่อเป็นแนวทางในการเลือกใช้เข็มเทียมให้เหมาะสมกับผู้ป่วยต่อไป

1.2 วัตถุประสงค์ของโครงงาน

1.2.1 เพื่อศึกษาผลของขนาดอนุภาควัสดุเสริมแรงและปริมาณของวัสดุเสริมแรง 3 ชนิด ได้แก่ ชิลิกอนไดออกไซด์ อลูมีเนียมออกไซด์ และไทเทเนียมไดออกไซด์ ต่อความแข็งผิว การต้านทานแรงดัดโค้ง และแรงยึดติดเฉือนของเรซินอะคริลิก

1.2.2 เพื่อศึกษาผลของการปรับผิวของวัสดุเสริมแรงด้วยไชเลนต่อความแข็งผิว ต่อการต้านทานแรงดัดโค้ง และแรงยึดติดเฉือนของเรซินอะคริลิก

1.3 ขอบเขตในการดำเนินโครงงาน

1.3.1 ตัวแปรต้น

1.3.1.1 ชนิดของวัสดุเสริมแรง 3 ชนิด ได้แก่ ชิลิกอนไดออกไซด์ อลูมีเนียมออกไซด์ และไทเทเนียมไดออกไซด์

1.3.1.2 ปริมาณวัสดุเสริมแรงร้อยละ 1 2.5 5 และ 10 โดยน้ำหนัก

1.3.1.3 ขนาดของอนุภาคชิลิกอนไดออกไซด์ 15 นาโนเมตร และ 40 ไมโครเมตร

1.3.1.4 การปรับสภาพผิวของวัสดุเสริมแรงด้วยสารคุณภาพไชเลน

1.3.2 ตัวแปรตาม

1.3.2.1 ค่าความแข็งผิวของเรซินอะคริลิก

1.3.2.2 ค่าการต้านทานการดัดโค้งของเรซินอะคริลิก

1.3.2.3 ค่าแรงยึดติดเฉือน

1.3.3 ตัวแปรควบคุม

- 1.3.3.1 เรียนรู้คริสตจักรที่บ่มตัวด้วยความร้อน
 - 1.3.3.2 สารคุณค่าปีชีวิต ชนิด 3-มหาคริสตจักรซีพริลไตรเมทธอกซีซีเลน

1.4 สถานที่ในการดำเนินโครงการ

- 1.4.1 ภาควิชาวิศวกรรมอุตสาหการ คณะวิศวกรรมศาสตร์ มหาวิทยาลัยนเรศวร
1.4.2 คณะทันตแพทยศาสตร์ มหาวิทยาลัยนเรศวร

1.5 ระยะเวลาในการดำเนินโครงการ

ตั้งแต่เดือน เมษายน พ.ศ. 2556 ถึง ธันวาคม พ.ศ. 2556

1.6 ขั้นตอนและแผนการดำเนินโครงการ

ตารางที่ 1.1 ขั้นตอนและแผนการดำเนินโครงการ

	การดำเนินโครงการ	ช่วงเวลา								
		ม.ย.	พ.ค.	มิ.ย.	ก.ค.	ส.ค.	ก.ย.	ต.ค.	พ.ย.	ธ.ค.
1.6.1	รวบรวมข้อมูล	↔								
1.6.2	วางแผนดำเนินงาน	↔								
1.6.3	หาเครื่องมือและวัสดุคิดเห็นเพื่อทำการทดลอง	↔	→							
1.6.4	ขึ้นรูปขั้นทดสอบ			↔	→					
1.6.5	ทดสอบขั้นงาน				↔	→				
1.6.6	วิเคราะห์ผลการทดลอง						↔	→		
1.6.7	สรุปผลการทดลองและทำรายงานวิจัย							↔	→	

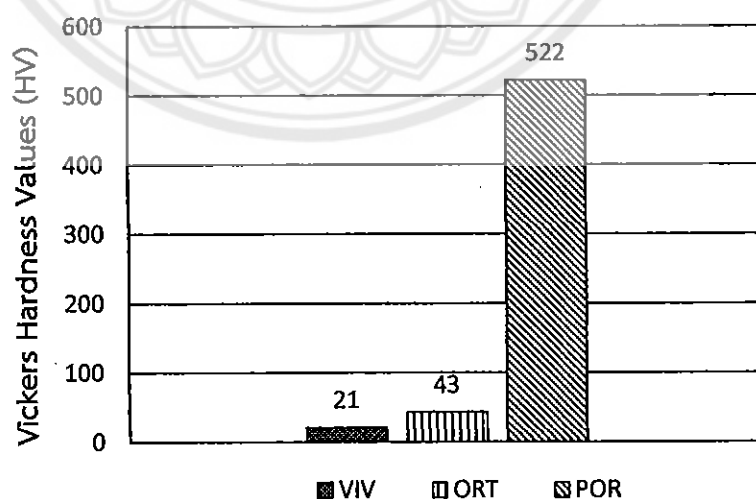
บทที่ 2

ทดลองเปื้องตันและงานวิจัยที่เกี่ยวข้อง

2.1 งานวิจัยที่เกี่ยวข้อง

ความแข็งผิว (Surface Hardness) การต้านทานแรงดัดโค้ง (Flexural Strength) และแรงยึดเฉือนติดกับฐานฟันเทียม คุณสมบัติทางกายภาพที่สำคัญอย่างหนึ่งของชีพันเทียม (Denture Teeth) ซึ่งชนิดของชีพันเทียมมีค่าความแข็งผิว ค่าการต้านทานแรงดัดโค้ง และแรงยึดติดที่แตกต่างกัน รวมทั้งกระบวนการผลิตก็มีผลต่อสมบัติดังกล่าว ปัจจุบันมีผู้ผลิตและจำหน่ายชีพันเทียมให้ทันตแพทย์ได้เลือกใช้อยู่หลายยี่ห้อ จึงมีผู้วิจัยพยายามได้ทำการวิจัยเกี่ยวกับเรื่องนี้

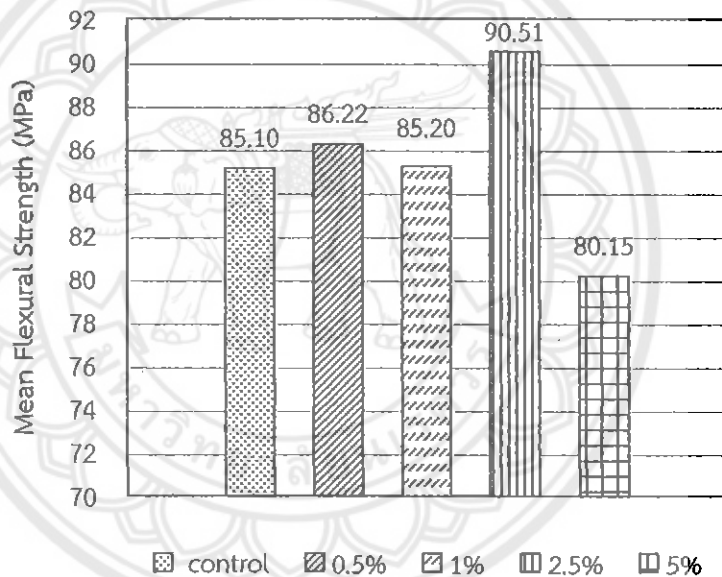
F. Kawano และคณะ [4] ได้ทำการศึกษาค่าความแข็งผิววิกเกอร์ของชีพันเทียมทางการค้า ทั้งหมด 9 ยี่ห้อ P. Suwannaroop และคณะ [5] ศึกษาค่าการต้านทานการสึกหรอของชีพันเทียม ค่าความแข็งผิว และค่ามอดูลัสยึดหยุ่นของชีพันปลอม 3 ชนิด X. Miao และคณะ [2] ศึกษาค่าการต้านทานแรงดัดโค้ง ค่ามอดูลัสยึดหยุ่น และความแข็งวิกเกอร์ของชีพันเทียม โดยเสริมแรงด้วยวัสดุเสริมแรง 3 ชนิด คือ ไอกะตอน ชิลิกอนไดออกไซด์ และไทเทเนียมไดออกไซด์ S.A. Shahdad และคณะ [6] ได้ทดสอบความแข็งผิววิกเกอร์ (Vickers Hardness) ของชีพันเทียม 3 ชนิด ซึ่งชนิดของชีพันเทียมทั้ง 3 ชนิด ที่คณะผู้วิจัยได้ทำการศึกษานั้นประกอบด้วยเรซินอะคริลิก (Acrylic Resin) เรซินอะคริลิกที่ปรับปรุงสมบัติ (Composite Material) และพอร์ซเลน (Porcelain) ดังแสดงในรูปที่ 2.1



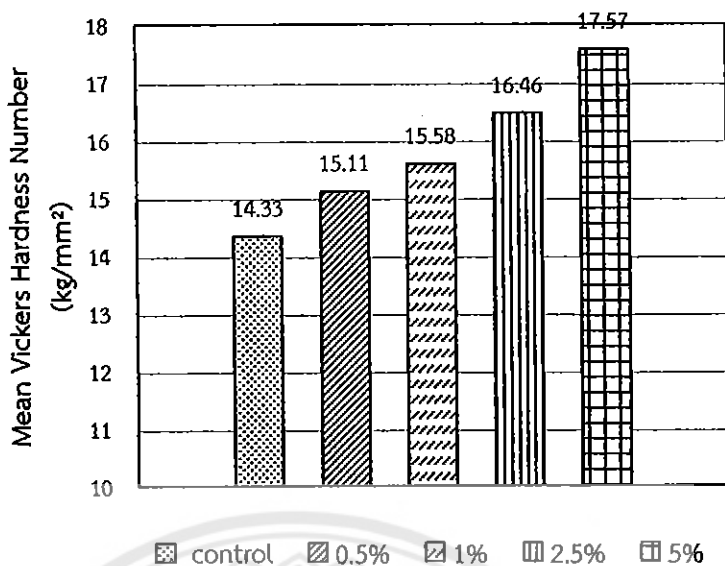
รูปที่ 2.1 แสดงค่าความแข็งวิกเกอร์ของชีพันเทียมชนิดต่างๆ [6] (VIV = Acrylic Resin, ORT = Composite Resin, POR = Porcelain)

จากการวิจัยที่ศึกษา พบว่าชีฟ์ฟันเทียมชนิดที่มีความแข็งผิวมากที่สุด คือ พอร์ซเลน เรซินอะคริลิก ที่ปรับปรุงสมบัติ และเรซินอะคริลิกตามลำดับ จากรายงานผลการวิจัยข้างต้น ผลการวิจัยจะเห็นว่าชีฟันเทียมอะคริลิกที่ปรับปรุงสมบัติจะมีสมบัติที่ดีกว่าชีฟันเทียมอะคริลิกที่ไม่ปรับปรุงคุณสมบัติ โดยปัจจุบันมีผู้วิจัยศึกษาเกี่ยวกับการปรับปรุงสมบัติของชีฟันเทียมอะคริลิก เช่น การเติมวัสดุเสริมแรง หลากหลายชนิดดังนี้

M. Vojdani และคณะ [7] ศึกษาผลกระทบของการต้านทานแรงดัดโค้ง (Flexural Strength) และความแข็งผิว (Surface Hardness) เมื่อเติมอลูมิเนียมออกไซด์ (Al_2O_3) ดังแสดงในรูปที่ 2.2-2.3 F. Unalan และคณะ [8] ได้ศึกษาผลของการเติมไมenk้า (Mica) และแก้ว (Glass) ต่อความแข็งผิว (Surface Hardness) ของชีฟันเทียมอะคริลิก M.K Saritha และคณะ [9] ศึกษาผลการเติม อลูมิเนียมออกไซด์ต่อการต้านทานแรงดัดโค้ง (Flexural Strength)



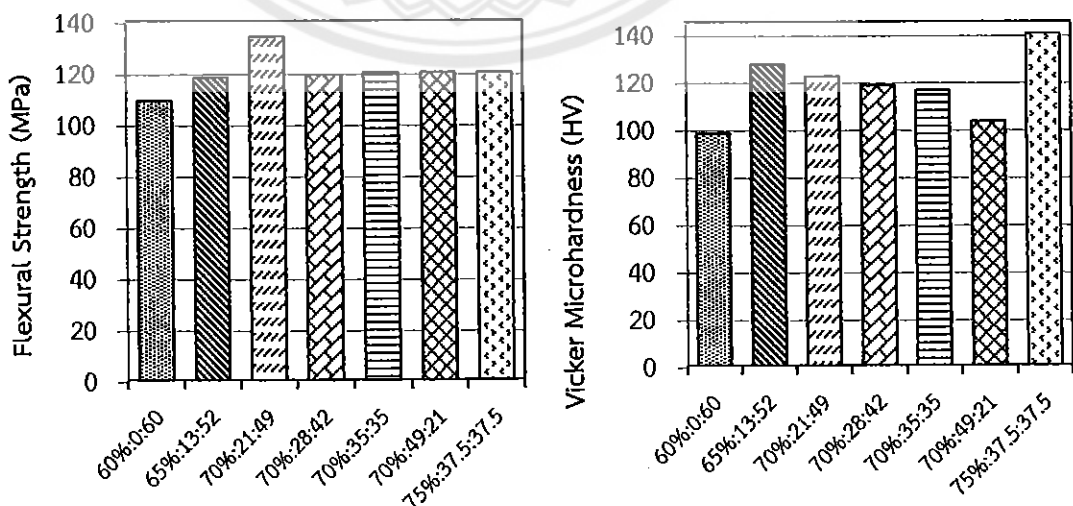
รูปที่ 2.2 แสดงการต้านทานแรงดัดโค้งของเรซินอะคริลิกที่เสริมแรงด้วยอลูมิเนียมออกไซด์ [7]



รูปที่ 2.3 แสดงความแข็งวิกเกอร์ของเรซินอะคริลิกที่เสริมแรงด้วยอลูมิเนียมออกไซด์ [7]

แต่ละท่านรายงานว่าการเติมวัสดุเสริมแรงทำให้สมบัติดังกล่าวให้ค่าสูงขึ้นได้ แต่อย่างไรก็ตาม ต้องเติมในสัดส่วนที่เหมาะสม ดังนั้นสัดส่วนของวัสดุเสริมแรงจึงมีผลต่อสมบัติทั้งสอง ผู้วิจัยจึงสนใจที่จะศึกษาสัดส่วนในการเติมวัสดุเสริมแรง

S.P. Samuel และคณะ [10] ผลของการเติมชิลิกาที่มีการรวมกันของชิลิกาที่มีรูพรุนและไม่มีรูพรุนในสัดส่วนต่างๆ ต่อสมบัติการต้านทานแรงกดและการต้านทานแรงดัดโค้ง H.Wang และคณะ [11] ศึกษาผลของการเติมชิลิกาที่มีการรวมกันของชิลิกา 2 ขนาด คือ 10 ไมโครเมตร และ 40 นาโนเมตร ในสัดส่วนต่างๆ ต่อการต้านทานแรงดัดโค้ง ความแข็ง และการต้านทานแรงกด ดังแสดงในรูปที่ 2.4



รูปที่ 2.4 แสดงค่าการต้านทานแรงดัดโค้งและความแข็งวิกเกอร์ (10 μm: 40 nm) [11]

พบว่าการที่นำวัสดุเสริมแรงชนิดเดียวกันที่มีขนาดหรือลักษณะทางกายภาพต่างกันมารวมกันสามารถเพิ่มสมบัติได้ดีขึ้นในสัดส่วนการเติมที่เหมาะสม ดังนั้นขนาดของอนุภาคของวัสดุเสริมแรงจึงมีผลต่อสมบัติดังกล่าว ทางผู้วิจัยจึงสนใจในส่วนของการเติมวัสดุเสริมแรงในขนาดอนุภาค 2 ขนาด คือ อนุภาคระดับนาโนเมตรและระดับไมโครเมตร

สมบัติแรงยึดเฉือนติดเป็นอีกหนึ่งหัวข้อที่น่าสนใจในการศึกษาการเสริมแรงด้วยวัสดุเสริมแรง และการปรับสภาพพื้นผิวที่มีผลต่อสมบัติการยึดติดของชีฟันเทียมกับฐานพันเทียม โดยมีนักวิจัยหลายท่านได้ทำการศึกษาถึงสมบัติการยึดติดเฉือน (Shear Bond Strength) ดังเช่น

Caeo และคณะ [12] ได้ทำการทดลองเพื่อทดสอบประสิทธิภาพของการเตรียมพื้นผิวของโลหะผสม 3 ชนิด ด้วยวิธีการกรดกัดด้วยไฟฟ้า การเคลือบผิวด้วยสารคุณค่าวาเลน และวิธีการกรดกัดด้วยไฟฟาร่วมกับการเคลือบผิวด้วยสารคุณค่าวาเลน เพื่อเพิ่มแรงยึดติดให้กับเรซินซีเมนต์ 3 ชนิด พบว่า การเคลือบผิวด้วยสารคุณค่าวาเลนให้แรงยึดสูงกว่าการใช้กรดกัดด้วยไฟฟ้าและไม่พบความแตกต่างในการยึดติดอยู่ระหว่างโลหะผสมที่ใช้ทั้ง 3 ชนิด กับเรซินซีเมนต์ทั้ง 3 ชนิด ส่วนวิธีการดัดด้วยไฟฟาร่วมกับการเคลือบผิวด้วยสารคุณค่าวาเลนทำให้แรงยึดลดลง

May และคณะ [13] ทำการทดลองการปรับสภาพผิวของไทเทเนียม เพื่อเพิ่มการยึดกันอยู่ของพอลิเมทิลเมทาคริเลต พบว่าการเป่าทรายด้วยอลูมิเนียมออกไซด์ 110 ไมโครเมตร เพียงอย่างเดียวไม่สามารถเพิ่มแรงยึดเฉือนเมื่อเทียบกับกลุ่มควบคุมที่ไม่ได้ทำการปรับสภาพพื้นผิวและการเป่าทรายด้วยอลูมิเนียมได้ออกไซด์ 110 ไมโครเมตร ส่วนการเคลือบด้วยไซเลนนั้นสามารถเพิ่มแรงยึดเฉือนให้กับพอลิเมทิลเมทาคริเลตได้มากกว่าร้อยละ 60

แทบทุกงานวิจัยที่กล่าวมาข้างต้นนี้ ใช้สารคุณค่าวาเลนเป็นสารประสานกับวัสดุเสริมแรง ซึ่งวัสดุเสริมแรงแต่ละชนิดต่างก็ใช้สารคุณค่าวาเลนที่ต่างกัน ผู้วิจัยจึงสนใจที่จะใช้สารคุณค่าวาเลนเป็นสารประสานกับวัสดุเสริมแรงดังกล่าวที่ด้วย

2.2 ทฤษฎีเบื้องต้น

พันเทียมนั้นประกอบด้วยฐานพันเทียม (Denture Base) และชีฟันเทียม (Denture Teeth) ซึ่งชีฟันเทียมจะมีคริลิกจัดว่าเป็นวัสดุจำพวกพอลิเมอร์ชนิดพอลิเมทิลเมทาคริเลต (Polymethyl Methacrylate) และมีการปรับปรุงคุณสมบัติตด้วยการเติมวัสดุเสริมแรงหลากหลายชนิด ซึ่งชิลิกาและไยแก้วเป็นวัสดุที่มีความแข็งมาก จึงเป็นวัสดุเสริมแรงที่มีความนิยมใช้ในการเสริมแรงอย่างกว้างขวางในอุตสาหกรรมต่างๆ

ความแข็งเป็นคุณสมบัติทางกายภาพที่สำคัญอย่างหนึ่งของชีฟันเทียมของคริลิก ความแข็งเป็นคุณสมบัติที่เกิดจากการวัดโดยใช้หัวกด กดลงไปบนผิวของวัสดุนั้น โดยวัสดุที่นำมาเป็นหัวกดจะมีความแข็งที่สูง เช่น เหล็กกล้าหรือเพชร จากนั้นวัดขนาดของรอยกดแล้วนำไปคำนวณค่าความแข็งตามสมการที่ 2.2 การทดสอบความแข็งมีการทดสอบโดยวิธีซึ่งการทดสอบความแข็งของชีฟันเทียมนิยมใช้การทดสอบความแข็งแบบวิกเกอร์ (Vickers Hardness Test)

การต้านทานแรงดัดโค้งก็เป็นคุณสมบัติที่สำคัญอย่างหนึ่งที่แสดงให้เห็นถึงการต้านทานต่อการเบลี่ยนรูปของซี่ฟันเทียมเมื่อถูกให้แรง ซึ่งก็เปรียบเสมือนแรงบดเคี้ยวที่เกิดขึ้นในช่องปากและข้อกำหนดของซี่ฟันเทียมจะมีความต้องการที่ต้องสอดคล้องกับความสามารถในการต้านทานแรงดัดที่ต้องการ

2.2.1 ซี่ฟันเทียม (Denture Teeth)

มีสมบัติตามอุดมคติ คือ จะต้องมีรูปร่าง สีไม่ต่างจากฟันธรรมชาติ และควรเข้ากันได้กับฐานฟันเทียม (Denture Base) ได้ดี เพื่อป้องกันการหลุดออกจากกันของซี่ฟันเทียมกับฐานฟันเทียม ต้องมีความแข็งแรง ความเหนียวเพื่อต้านทานต่อการหัก และความแข็งผิว (Hardness) เพื่อป้องกันการสึกกร่อนที่เกิดในช่องปากและการสึกที่เกิดจากการเคี้ยวอาหารที่มีความแข็งผิวมาก การสึกจากทำการทำความสะอาดฟันเทียม แต่อย่างไรก็ตามซี่ฟันเทียมไม่ควรมีความแข็งมากเกินไป เพราะจะเกิดเสียงเมื่อมีการกระแทกของฟันและจะยากต่อการกรอแต่งของช่างทันตกรรม

วัสดุที่ใช้ทำซี่ฟันเทียมจะสามารถแบ่งออกได้เป็น 3 ชนิดใหญ่ๆ คือ ซี่ฟันเทียมพอร์ซเลน (Porcelain) ซี่ฟันเทียมเรซินอะคริลิก (Acrylic Resin) และซี่ฟันเทียมเรซินอะคริลิกที่มีการปรับปรุงสมบัติ (Improved Resin)

ซี่ฟันเทียมเรซินอะคริลิกมีความต้านทานต่อการอัดสูงกว่าซี่ฟันเทียมพอร์ซเลน ทำให้มีการกระแทกกระเทือนต่อเนื้อเยื่อใต้ฐานฟันเทียม อีกทั้งยังมีความเหนียว ไม่แตกหักง่าย ยึดติดกับฐานฟันเทียมได้ด้วยพันธะเคมี สามารถกรอแต่งได้ง่าย แต่ก็มีข้อเสีย คือ มีความแข็งผิวต่ำกว่าชนิดพอร์ซเลนและสามารถถูกซีมสารละลายได้ จึงอาจทำให้สีของซี่ฟันเทียมผิดไปจากเดิม อย่างไรก็ตามปัจจุบันมีความพยายามที่จะปรับปรุงคุณภาพของซี่ฟันเทียมเรซินอะคริลิกให้มีสมบัติดีขึ้น

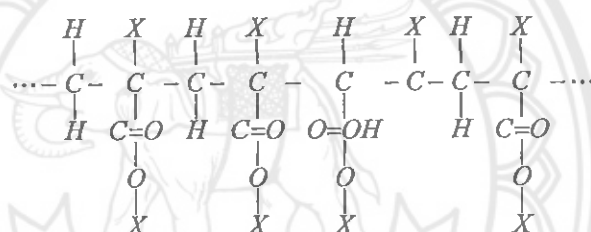
2.2.2 พอลิเมทธาเคริเลต (Polymethyl Methacrylate; PMMA)

พอลิเมทธาเคริเลตหรือที่เรียกว่า PMMA จัดเป็นพอลิเมอร์ในกลุ่มของเทอร์โมพลาสติก (Thermoplastic) ซึ่งมีสูตรเคมี คือ $C_5H_8O_2$ พอลิเมทธาเคริเลตมีสมบัติโดยเด่นในเรื่องความเหนียว ความโปร่งใส สามารถขึ้นรูปได้ง่าย และมีความหนาแน่นต่ำ พลาสติกชนิดนี้ถูกนำมาประยุกต์ใช้ในงานหลายอย่าง เช่น กระจกใส่บนเครื่องบิน ป้ายโฆษณา กระจกตู้ปลา วัสดุทางการแพทย์ เป็นต้น นอกจากนั้นแล้วอะคริลิกพลาสติกยังเป็นที่นิยมนำมาขึ้นรูปใช้แทนแก้วในงานหลายอย่างได้อย่างมีประสิทธิภาพ อะคริลิกพลาสติกเป็นพลาสติกที่สามารถเตรียมได้จากการนำมอนомерของเมทธาเคริเลต (Methyl Methacrylate, MMA) มาทำปฏิกิริยา กันแล้วเกิดเป็น PMMA การเกิดพอลิเมอร์ (Polymerization) ในปี ค.ศ. 1880 นักเคมีชาวเยอรมัน 2 คน คือ ฟิตทิจ (Fittig) และพอล (Paul) สามารถสังเคราะห์พอลิเมทธาเคริเลต แต่ยังไม่สามารถพัฒนาวิธีผลิตให้ได้เป็นแผ่นอะคริลิกพลาสติกได้ ต่อมาเมื่อปี ค.ศ. 1901 ออทโท เริ่ห์ม (Otto Rohm) นักเคมีชาวเยอรมัน ขอจดสิทธิบัตรวิธีผลิตแผ่นพลาสติกจากพอลิเมทธาเคริเลตในชื่อทางการค้า Plexiglas หลังจากนั้นในปี ค.ศ. 1936 จึงมีการผลิตแผ่น Plexiglas ออกจำหน่ายในเชิงพาณิชย์ เริ่มใช้ในช่วง

สังเคราะห์โลหะรั้งที่สอง นำมาใช้กับเรือดำน้ำ กระเจ้าตู้ปลา และกระเจ้าเครื่องบิน นอกจากนี้ยังมี พอลิเมทธิลเมทาคริเลต ที่ใช้ภายในเครื่องหมายการค้า เช่น ชนิดแผ่น Perplex (ICI) Oroglas และ พอลิเมทธิลเมทาคริเลตในรูปของผงมีเครื่องหมายทางการค้า เช่น Diakon (ICI) Acry-ace (Fudow Chemical Co.Japan) Lucite (Dupont) และ Vedril (Montecatini) [14]

เรซินอะคริลิก (Acrylic Resin) เป็นอนุพันธ์ของเอซิลีนและมีกลุ่มไวนิล (Vinyl Group) อยู่ในโครงสร้างอนุกรมของเรซินอะคริลิก (Acrylic Resin Series) ที่เกี่ยวข้องกับทางทันตกรรมมีอย่างน้อย 2 อนุกรม คือ อนุกรมที่ได้จากการดัดอะคริลิก ($\text{CH}_2 = \text{CHCOOH}$) กับอนุกรมจากการดัดเมทาคริลิก ($\text{CH}_2 = \text{C}(\text{CH}_3)\text{COOH}$) สารประกอบของอนุกรมทั้งสองได้จากแบบรวมตัวพอลิเม่อร์เช่น แบบรวมตัว

แม้สารเหล่านี้จะแข็งและใส แต่ดูดซึมน้ำมากทำให้อ่อนและลดกำลังความแข็งแรงลงไม่ เหมาะกับการนำไปใช้ในปาก แต่เอสเตอร์ของกรดเหล่านี้ใสและดูดซึมน้ำอย่างมาก จึงนำมาใช้ในปาก เช่น พอลิเมทธิลเมทาคริเลต ซึ่งมีสูตรโครงสร้างห่วงโซ่ดังรูปที่ 2.5



รูปที่ 2.5 โครงสร้างของพอลิเมทธิลเมทาคริเลต [15]

เมื่อ X แทนเอสเตอร์แรดิคัลของอนินทรีย์หรืออินทรีย์ ซึ่งทำให้เกิดเรซินอะคริลิกชนิดต่างๆ มากมาย แต่ที่นิยมใช้ทำฟันประดิษฐ์และฐานเดนเจอร์ ได้แก่ พอลิเมทธิลเมทาคริเลต (Polymethyl Methacrylate) คือ X เป็น CH_3 แรดิคัล

เมทธิลเมทาคริเลตมีลักษณะใสจุดเดือด 100 องศาเซลเซียส มีความหนาแน่น 1.19 กรัมต่อลูกบาศก์เซนติเมตรและเป็นตัวละลายสารอินทรีย์ได้ดีมาก พอลิเมทธิลเมทาคริเลตเป็นเทอร์โมพลาสติกมีกำลังความแข็งแรงสูงสุดในกลุ่มเดียวกันอ่อนตัวที่อุณหภูมิ 105 องศาเซลเซียส [15] ซึ่ง เหมาะสมสำหรับอัดในเบ้า ถ้าทำให้ร้อนถึงอุณหภูมิ 450 องศาเซลเซียส พอลิเมทธิลเมทาคริเลตถูกดีพอลิเม่อร์ซีไดเมทธิลเมทาคริเลตเชิงเดี่ยวหรือมอนомерเดิมอีก

เมทธิลเมทาคริเลตโมเลกุลเชิงเดี่ยวหรือมอนอมอร์ (Simple Molecule or Monomer) สามารถรวมตัวเป็นมหโมเลกุลหรือพอลิเมอร์ (Macromolecule or Polymer) ของพอลิเมทธิลเมทาคริเลตได้โดยปฏิกิริยาพอลิเม่อร์เช่นแบบรวมตัวซึ่งเกิดจากตัวกระตุ้น อาจเป็นความร้อน แสงอัลตราไวโอเลตพวงหนึ่ง หรือสารอินทรีย์อิกพวงหนึ่งไปแยกหรือทำปฏิกิริยากับตัวเริ่มต้นให้ปล่อย

แรดิคัลอิสระออกมานะ แรดิคัลอิสระนี้ทำปฏิกิริยา กับอนต์คู่ระหว่างสารบอนต์ หรืออนต์ของเมทิลเมทาคริเลตเชิงเดี่ยวกลายเป็นพอลิเมทิลเมทาคริเลต

แนวโน้มการนำพอลิเมทิลเมทาคริเลตมาใช้งานในรูปของอะคริลิกพลาสติกถูกประยุกต์ใช้ในงานหลายอย่างไม่ว่าจะเป็นเครื่องประดับ อุปกรณ์สำนักงานในรูปของอะคริลิกพลาสติกถูกประยุกต์ใช้ในงานหลายอย่างไม่ว่าจะเป็นเครื่องประดับ อุปกรณ์สำนักงาน อุปกรณ์ในห้องน้ำ สีทาบ้าน ป้ายโฆษณาหรือป้ายชื่อร้าน และอื่นๆ อีกมากมาย ส่วนใหญ่มักเป็นทางเลือกแทนการใช้กระดาษเนื่องจากกระดาษมีความเปราะบาง แตกง่าย ไม่ทนต่อรอยขีดข่วน ไม่ทนต่อสภาพอากาศจึงทำให้อะคริลิกพลาสติกเป็นทางเลือกใหม่กับงานเฉพาะด้านมากขึ้น

โดยสมบัติพื้นฐานของพอลิเมทาคริเลตเป็นพลาสติกรูปร่างที่มีพื้นผิวมันวาวสูง ทนทานสูง และไปรังสีจัดเป็นวัสดุที่แข็ง แต่มีความเปราะ มีความต้านทานแรงดึง แรงอัด และจุดแข็งดีถือว่าเป็นที่น่าพอใจสามารถต้านทานรอยขีดข่วนได้

2.2.3 ซิลิกาหรือซิลิกอนไดออกไซด์ [17]

ซิลิกอนไดออกไซด์ (Silicon Dioxide) หรือสามารถเรียกว่า “二氧化矽” ได้ออกอย่างหนึ่งว่าซิลิกาคือ สารประกอบระหว่างออกไซด์และซิลิกอนรวมตัวกันเป็นสูตรทางเคมี คือ SiO_2 และเป็นวัสดุที่มีความแข็งแกร่ง ซิลิกามักพบได้ทั่วไปในธรรมชาติอาจในรูปของหินหรือควอตซ์และในผนังเซลล์ของไ道ות ซิลิกาเป็นสารประกอบที่มีจำนวนมากโดยทั่วไปเป็นเปลือกโลก

ซิลิกาได้นำมาใช้เป็นวัสดุในการผลิตที่หลากหลายอาทิ เช่น คริสตัล กระจก แก้วน้ำ และขวดแก้ว สายใยแก้วที่ใช้ในการโทรศัมนาคมก็เป็นผลิตผลจากซิลิกา เช่นเดียวกันและยังใช้เป็นวัตถุดิบแรกเริ่มในผลิตภัณฑ์จำพวกเซรามิก เช่น เครื่องปั้นดินเผา เครื่องหิน เครื่องลายคราม และการผลิตพาร์ตแลนด์ซีเมนต์

พื้นที่ผิวของซิลิกาเป็นปัจจัยที่สำคัญในการบ่งบอกถึงประสิทธิภาพความแข็งแกร่งเมื่อนำไปใช้เป็นวัสดุเสริมแรงในอุตสาหกรรมต่างๆ ซิลิกาที่มีขนาดอนุภาคเล็กจะมีพื้นที่ผิวสูงและให้ความแข็งแรงในการเสริมแรงได้ดี

ในทางการค้าซิลิกาเป็นแหล่งแหล่งผลิตซิลิกอนและถูกใช้ในปริมาณมาก ซึ่งเป็นส่วนของวัสดุก่อสร้าง ส่วนซิลิกาอสัมฐานนั้น (Amorphous Silica) ถูกใช้เป็นสารตุดความชื้น สารตุดซับสารเพิ่มความแข็งแรง สารเติมแต่ง และองค์ประกอบของตัวเร่งปฏิกิริยา

ตารางที่ 2.1 สมบัติทางกายภาพทั่วไปของซิลิกอนไดออกไซด์ [18]

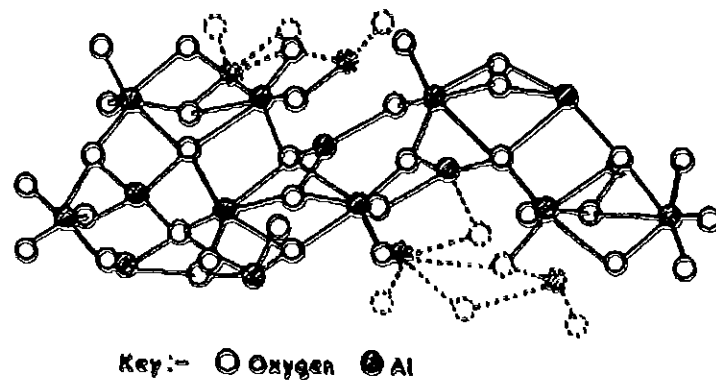
ชื่อทั่วไป	Silica, Quartz, Free, Crystalline Silica, Silica Flour, Silica
สูตรโมเลกุล	SiO_2
น้ำหนักโมเลกุล	60.1 g/mole
สถานะ	ของแข็งสีขาว ไม่มีกลิ่น
ความถ่วงจำเพาะ	2.2
จุดเดือด	>2,200 °C
จุดหลอมเหลว	1713 °C

2.2.4 อลูมินาหรืออลูมิเนียมออกไซด์ [19]

อลูมินา (Alumina) มีชื่อทางเคมี คือ อลูมิเนียมออกไซด์ (Aluminium Oxide: Al_2O_3) มีรูปร่างโมเลกุลเป็นแบบทรงเหลี่ยมแบปดหน้า ปัจจุบันถูกพัฒนานำมาใช้งานมากขึ้นในอนาคต อลูมินา จัดว่าเป็นวัสดุที่มีมูลค่าสูง เนื่องจากมีสมบัติที่โดดเด่นหลายด้าน เช่น มีจุดหลอมเหลวที่สูง มีความแข็งสูง และมีเสถียรรูปทางเคมีที่สูง

ไพลิน (Sapphire) คือ อลูมินาซึ่งอยู่ในรูปผลึกเดียว (Single Crystal) ซึ่งเป็นอลูมินาที่มีมูลค่าสูงมาก เนื่องจากถูกนำมายังเครื่องประดับ ส่วนอลูมินาที่อยู่ในรูปโครงสร้างผลึกที่ซับซ้อน (Polycrystalline) นั้นจะมีราคาที่ถูกกว่า แต่เป็นวัตถุดิบที่มีบทบาทอย่างมากในอุตสาหกรรมต่างๆ โดยเฉพาะในอุตสาหกรรมที่ต้องการใช้งานที่อุณหภูมิสูง อลูมินาถูกนำไปใช้งานในอุตสาหกรรมต่างๆ อย่างหลากหลาย เช่น ผลิตภัณฑ์อลูมินาที่ใช้ทำลูกบด ผนังกรุห้องน้ำ กระเบื้องมือตัดแต่งวัสดุ วัสดุยานยนต์ และชิ้นส่วนลดอันตรายจากการสูบบุหรี่ ตลอดจนชิ้นส่วนสำหรับอุปกรณ์ทางการแพทย์ เช่น ข้อต่อกระดูกเทียม เป็นต้น

อลูมินาที่มีความเสถียรมากที่สุดอยู่ในรูปอัลฟ้าอลูมินา ($\alpha - \text{Al}_2\text{O}_3$) ซึ่งมีโครงสร้างเป็นเอกซากโนนอล (Hexagonal) โดยมีอักษรชีเจนเรียงตัวกันแบบเอกซากโนนอลและมีอลูมิเนียมที่มีขนาดเล็กกว่าแทรกอยู่ในช่องของออกไซด์รอบ 2 ใน 3 ส่วนของช่องห้อง ดังแสดงในรูปที่ 2.6



รูปที่ 2.6 แสดงการแทรกของอลูมินาในช่องของออกไซด์รอบ [19]

โดยผงอลูมินาจะเป็นที่นิยมใช้มากที่สุด เพราะเป็นวัตถุเริ่มต้นในการขึ้นรูปแบบต่างๆ ได้ดี ทั้งนี้อลูมินาที่นำมาใช้จะต้องมีความบริสุทธิ์สูง และมีความละเอียดมาก เพราะสมบัติทางฟิสิกส์และ เชิงกลของอลูมินาสามารถเพิ่มขึ้นได้โดยการกำจัดเหล็กทินต่างๆ ออกไป เช่น

2.2.6.1 การปรับปรุงสมบัติเชิงกลโดยการปรับปรุงองค์ประกอบและโครงสร้างจุลภาค

2.2.6.2 การใช้ผงอลูมินาที่มีความละเอียดระดับเล็กกว่าไมโครเมตร เพื่อที่จะให้ได้ผลิตภัณฑ์ที่มีเนื้อละเอียดมากๆ

2.2.6.3 การพัฒนาอลูมินาเซรามิกที่มีรูปrun

เนื่องจากสมบัติของอลูมินาที่มีความแข็งสูง มีความหนาแน่นสูง มีความต้านทานต่อการ ขัดสี และสึกกร่อนสูง ทนต่อสารเคมี เป็นอนุวนไฟฟ้าที่อุณหภูมิสูงได้ดี และมีความทนไฟสูง จึง สามารถนำมาใช้ในอุตสาหกรรมได้หลายประเภท เช่น อุตสาหกรรมเครื่องขัดถู (Abrasive) อุตสาหกรรมวัสดุทนไฟ อุตสาหกรรมเซรามิก และอื่นๆ ซึ่งแนวโน้มในการนำอลูมินาไปใช้งานก็ได้มี การพัฒนาเพิ่มขึ้นเรื่อยๆ สามารถนำอลูมินาที่ได้จากการสังเคราะห์มาผลิตเป็นผลิตภัณฑ์ได้หลาย ประเภท เช่น อุปกรณ์ประกอบชิ้นส่วนอิเล็กทรอนิกส์ ชิ้นส่วนรถยนต์ อุปกรณ์อนุวนไฟฟ้า เครื่องมือ ตัดแต่ง อุปกรณ์ทางการแพทย์ อวัยวะเทียม เครื่องมือวิทยาศาสตร์ เป็นต้น โดยอลูมินาที่นำมาใช้ใน นั้นจะมีชนิดที่เป็นผง เป็นผลึกเดี่ยวๆ เป็นแผ่นพิล์มบางๆ เป็นเส้นใย และที่เป็นรูปrun

2.2.5 ไทเทเนียมไดออกไซด์ [18]

ไทเทเนียมไดออกไซด์สามารถผลิตเป็นโลหะเจือด้วยการผสมกับเหล็ก อะลูมิเนียม วานเดียม โมลิบดีนัม และธาตุอื่นๆ เพื่อผลิตโลหะเจือที่แข็งแรง แต่น้ำหนักเบาสำหรับใช้ในยาน- อวกาศหรืออากาศยาน การทหาร กระบวนการทางอุตสาหกรรม (สารเคมี สารเคมีจากปิโตรเลียม ระบบผลิตน้ำจืดจากน้ำทะเล Desalination Plant) เยื่อกระดาษ และกระดาษ) ยานยนต์ อาหาร จากเกษตรกรรม ภายนอก ทางการแพทย์ กระดูกเทียม เครื่องมือทางทันตกรรม พื้นปลอมราก เทียม สินค้าทางการกีฬา อัญมณี โทรศัพท์มือถือ และการประยุกต์ใช้อื่นๆ

คุณสมบัติที่มีประโยชน์มากที่สุดของรูปโลหะ คือ มีความต้านทานการกัดกร่อนและมี อัตราส่วนความแข็งแรงต่อน้ำหนักสูงกว่าโลหะชนิดใดๆ ในสภาวะบริสุทธิ์ ไทเทเนียมไดออกไซด์มี ความแข็งเท่ากับเหล็กกล้าบางชนิด แต่เบากว่าร้อยละ 45 สมบัติทางเคมีและสมบัติทางฟิสิกส์ของ ไทเทเนียมไดออกไซด์คล้ายกับเซอร์โคเนียม

ตารางที่ 2.2 สมบัติทางกายภาพทั่วไปของไทเทเนียมไดออกไซด์ [18]

ชื่อทั่วไป	Baytitan , Titanium Oxide
สูตรโมเลกุล	TiO ₂
น้ำหนักโมเลกุล	47.867 g/mole
สถานะ	ของแข็งสีขาว ไม่มีกลิ่น
ความถ่วงจำเพาะ	3.9
จุดเดือด	2,500–3,000 °C
จุดหลอมเหลว	1840 °C

2.2.6 สารคู่ควบ (Coupling Agents) [3]

สารคู่ควบ คือ สารที่ช่วยปรับปรุงแรงยึดเหนี่ยวระหว่างพอลิเมอร์และฟิลเลอร์ ทำหน้าที่ เมื่อมันเป็นส่วนหนึ่งของโมเลกุลไว้ โดยส่วนหนึ่งของโมเลกุลเป็นส่วนที่จะเกิดปฏิกิริยา กับฟิลเลอร์ และอีกส่วนหนึ่งของโมเลกุลเป็นส่วนที่จะเกิดการรวมตัวหรือทำปฏิกิริยา กับพอลิเมอร์ได้เป็นอย่างดี เมื่อพื้นผิวฟิลเลอร์ได้รับการปรับปรุงด้วยสารคู่ควบ จะช่วยลดแรงตึงผิวของฟิลเลอร์ หรือเปลี่ยนลักษณะพื้นผิวของฟิลเลอร์ที่มีสมบัติเป็นไฮdrophilic (Hydrophilic) เป็นไฮdrophobic (Hydrophobic) ทำให้สามารถเข้ากันได้กับพอลิเมอร์ ซึ่งไม่เพียงช่วยให้การผสมเกิดได้ดีขึ้น แต่ยังช่วยปรับปรุงสมบัติโดยรวมของคอมโพสิตอีกด้วย

กลไกการปรับปรุงการยึดระหว่างฟิลเลอร์ กับ พอลิเมอร์ โดยการใช้สารคู่ควบ

สารคู่ควบ มีสูตรทั่วไป คือ (R O)_x-M-(R-X)_y

โดย M คือ โลหะ ได้แก่ ชิลิคอน ไททาเนียม หรือ เซอร์โคเนียม

X คือ หมุ่ฟังก์ชันที่เข้าทำปฏิกิริยา กับพอลิเมอร์ เช่น หมู่ไวนิล หมู่อะโนมี เป็นต้น

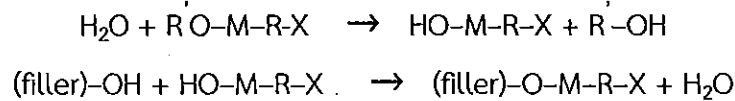
R คือ หมู่อินทรีย์ที่เชื่อมอยู่ระหว่างหมู่ X กับโลหะ M

RO คือ หมู่ที่เข้าทำปฏิกิริยา กับพอลิเมอร์ หรือ เส้นใยเสริมแรง

การยึดระหว่างสารประสานและฟิลเลอร์ อาจเกิดจากปฏิกิริยาโดยตรงระหว่างหมู่ OR ของสารคู่ควบ กับหมู่ OH ที่พื้นผิวฟิลเลอร์ ดังนี้



หรืออาจเกิดจากการที่หมู่ OR ถูกไฮdroxyle ด้วยความชื้นที่พื้นผิวฟิลเลอร์ ได้เป็นหมู่ OH ซึ่งจะเข้าทำปฏิกิริยาต่อไป กับฟิลเลอร์ ดังนี้



สำหรับการยึดเกาะระหว่างสารคุณภาพและพอลิเมอร์เกิดจากหมู่ X ของสารคุณภาพเข้าหากันกับพอลิเมอร์ชนิดต่างๆ โดยหมู่ X มีแตกต่างกันหลายชนิดเพื่อให้เหมาะสมในการใช้งาน กับพอลิเมอร์ชนิดต่างๆ

การใช้สารคุณภาพมี 2 วิธี

2.2.6.1 นำไปเคลือบหรือปรับแต่งที่พื้นผิวของฟิลเลอร์แล้วจึงนำไปผสมกับพอลิเมอร์

2.2.6.2 ผสมกับพอลิเมอร์โดยตรงระหว่างกระบวนการคอมโพสต์ดิบ

สำหรับสารคุณภาพที่ใช้กันทั่วไปมีดังนี้ คือ

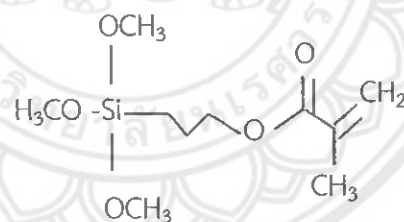
ก. สารโคเมียมเชิงซ้อน (Chromium Complexes)

ข. ไซเลน (Silanes)

ค. ไททาเนต (Titanates)

ง. เซอร์โคเนียมอะลูมิเนต (Zirconium Aluminates)

สำหรับงานวิจัยนี้เลือกใช้สารคุณภาพประเภทไซเลน คือ 3-เมทาคริลอกซ์ไพรพิลไตรเมทอกซ์ไซเลน (3-Methacryloxypropyltrimethoxysilane; 3-MPS) โดยจะแสดงลักษณะการจัดเรียงโครงสร้างทางเคมีของ 3-MPS ดังรูปที่ 2.7

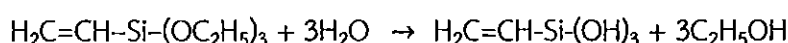


รูปที่ 2.7 ลักษณะโครงสร้างของ 3-MPS [3]

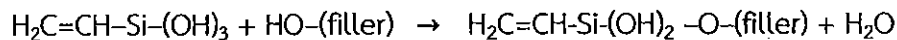
2.2.7 ไซเลน (Silanes)

ไซเลนเป็นสารคุณภาพที่นิยมใช้มากที่สุดกับผลิตภัณฑ์พลาสติกเสริมแรงด้วยฟิลเลอร์มีสูตรทั่วไป คือ Y-Si(OR)_3 โดยหมู่ OR (เช่น $-\text{OCH}_3$, $-\text{OC}_2\text{H}_5$) จะเข้าทำปฏิกิริยาเกิดพันธะกับฟิลเลอร์ในขณะที่หมู่ Y (เช่น หมู่ไนล หมู่อะมิโน หมู่อีพอกซี่ และหมู่ Mercapto) จะทำปฏิกิริยากับพอลิเมอร์ซึ่งมีผลทำให้ฟิลเลอร์ยึดเกาะกับพอลิเมอร์ได้ดี ตัวอย่างเช่น การใช้ 3-เมทาคริลอกซ์ไพรพิลไตรเมทอกซ์ไซเลน (3-MPS) จะช่วยให้ฟิลเลอร์ยึดเกาะกับพอลิเมอร์ได้ดังนี้ คือ

ขั้นที่ 1 หมู่เอทอกซิซูกไทรไดไฮด์ไดเป็นหมู่ซิลลานอล (Si-OH)



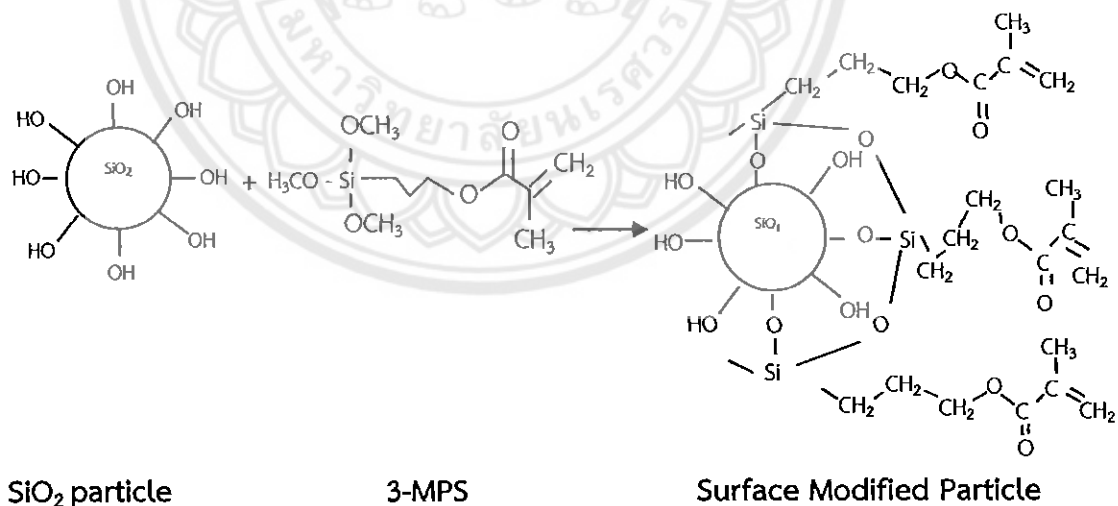
ขั้นที่ 2 ซิลเลนอลเข้าทำปฏิกิริยากับหมู่ OH ที่พื้นผิวของฟิลเลอร์เกิดเป็นพันธะ Si-O-Si ระหว่างสารคุ่มควบกับฟิลเลอร์



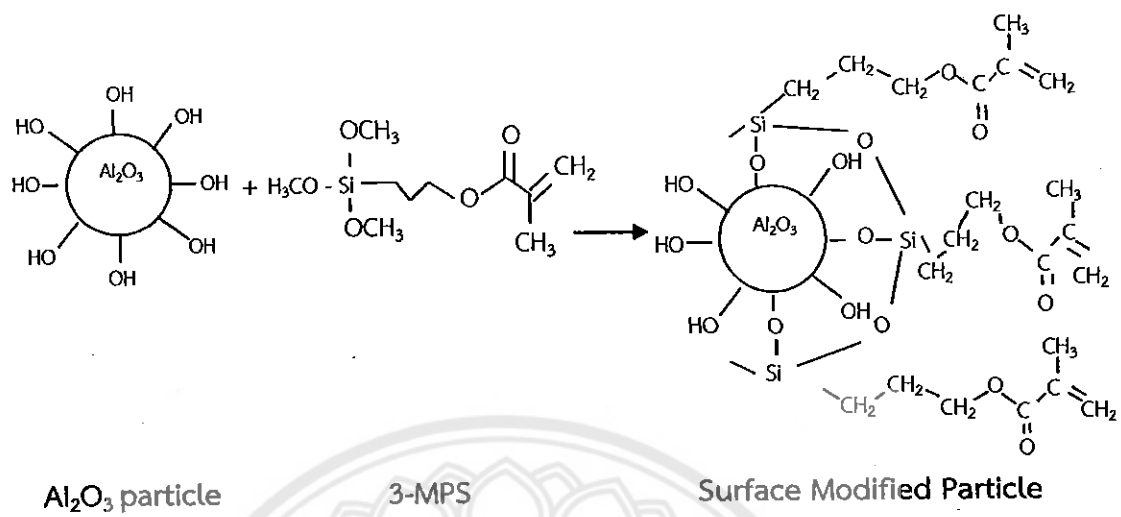
ในขณะเดียวกันหมู่อัลคิลจะเข้าทำปฏิกิริยากับพอลิเมอร์เกิดเป็นพันธะโคลเวเลนต์ ระหว่างสารคุ่มควบกับพอลิเมอร์ โดยวิธีการนี้ จึงทำให้ฟิลเลอร์มีแรงยึดติดกับพอลิเมอร์มากขึ้นได้ดี

การใช้สารคุ่มควบใช้เลนจะมีประสิทธิภาพสูงเมื่อนำไปใช้เป็นสารคุ่มควบสำหรับฟิลเลอร์ ต่อไปนี้ คือ ซิลิกา แก้ว อลูมินา และอลูมิโนซิลิกะ ในทางตรงกันข้าม เมื่อนำไปใช้กับแคลเซียม การบอนเนท ใช้เลนจะไม่มีประสิทธิภาพเลย

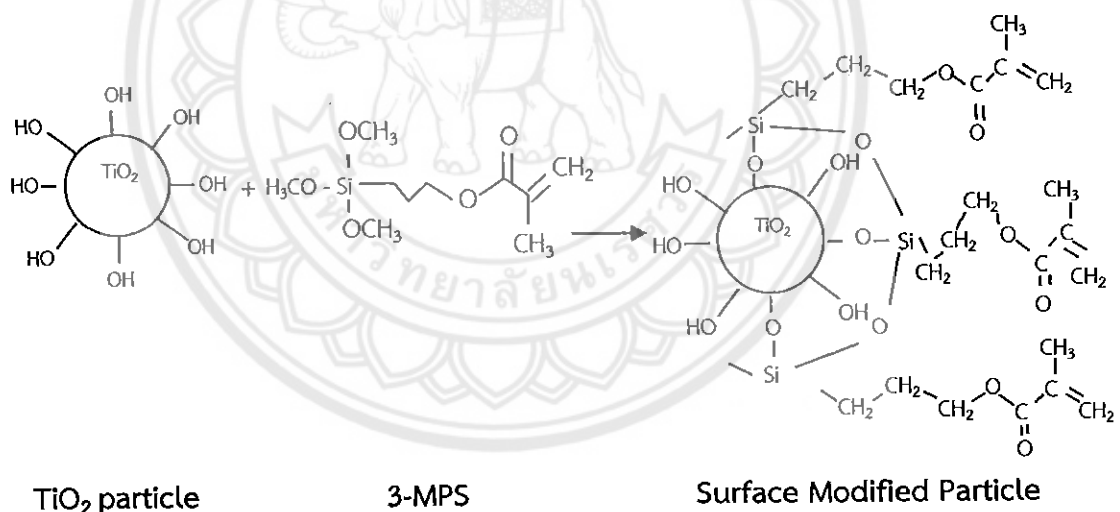
ในการปรับปรุงสมบัติเชิงกลของพอลิเมอร์โดยการใส่ฟิลเลอร์นั้น คอมโพสิตที่ได้จะมีสมบัติดี ถ้าทำให้ฟิลเลอร์กระจายตัวหรือยึดเกาะกับพอลิเมอร์ได้ดี ซึ่งวิธีการหนึ่งที่นิยมใช้กันมานาน แล้ว คือ การเคลือบหรือปรับสภาพพื้นผิวของฟิลเลอร์ด้วยสารที่สามารถเข้ากันได้กับห้องน้ำของพอลิเมอร์และฟิลเลอร์ โดยงานวิจัยนี้เลือกฟิลเลอร์หัววัสดุเสริมแรง 3 ชนิด คือ ซิลิกอนไดออกไซด์ อลูมิเนียมออกไซด์ และไทเทเนียมไดออกไซด์ โดยจะแสดงลักษณะการปรับสภาพพื้นผิวของวัสดุ เสริมแรงโดยใช้ 3-MPS เป็นตัวปรับสภาพพื้นผิว ดังรูปที่ 2.8-2.9



รูปที่ 2.8 การปรับสภาพพื้นผิวของซิลิกอนไดออกไซด์



รูปที่ 2.9 การปรับสภาพพื้นผิวของอัลูมิเนียมออกไซด์



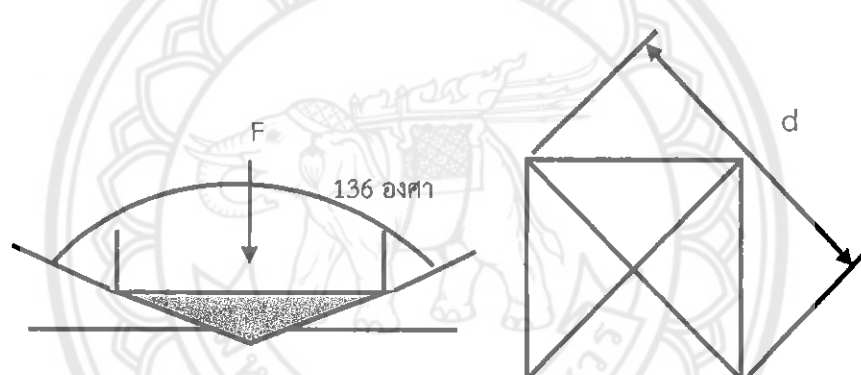
รูปที่ 2.10 การปรับสภาพพื้นผิวของไทเทเนียมไดออกไซด์

2.3 ทฤษฎีการทดสอบสมบัติเชิงกล

2.3.1 การวัดความแข็งวิกเกอร์ (Vickers Hardness Test-VHN) [20]

วิธีนี้ใช้หัวกดพิรมิดฐานสี่เหลี่ยมที่ทำมาจากเพชรเม้มุน 136 องศา แรงกด 5-120 กิโลกรัม เหมาะสำหรับวัดความแข็งของวัสดุที่มีความประดิษฐ์สูง เช่น เหล็ก แปรรูป และพื้นผิว โดยมีหลักการคล้ายคลึงกับการทดสอบความแข็งนูปและบริเบลล์ แต่มีความแตกต่างกันตรงที่วิธีนี้ใช้หัวกดรูปพิรมิด แรงกดทำให้รอยกดคล้ายรูปสี่เหลี่ยมจัตุรัสบนผิววัสดุ ดังแสดงในรูปที่ 2.10 ค่าความแข็งของวัสดุจะถูกวัดจากเส้นทแยงมุมของสี่เหลี่ยมจัตุรัสทั้งสองเส้น นำมาหารค่าความแข็งเฉลี่ยแล้วคำนวณมาเป็นค่าความแข็งวิกเกอร์ (Vicker's Hardness Number-VHN) ค่าความแข็งวิกเกอร์และบริเบลล์มีความสัมพันธ์กันตามสมการที่ 2.1

$$VHN = 1.05BHN \quad (2.1)$$



รูปที่ 2.11 ลักษณะหัวกดและรอยกดของการวัดความแข็งวิกเกอร์

$$\text{การคำนวณค่าความแข็ง} \quad HV = \frac{2F \sin(136/2)}{d^2} \quad (2.2)$$

HV = ความแข็งวิกเกอร์ (Vickers Hardness)

F = น้ำหนักที่ใช้กด (kg)

d = ความยาวเส้นทแยงมุม (mm)

ตารางที่ 2.3 ข้อกำหนดของชีฟันเทียมอะคริลิกตามมาตรฐาน ISO 3336 [21]

ความหนาแน่น (g/cm^3)	1.2
มอดูลัสของ การยืดหยุ่น (GPa)	2.5
ความแข็งผิว (VHN)	20

2.3.2 การต้านทานแรงดัดโค้ง (Flexural Strength) [20]

เป็นค่าความเค้นที่ได้จากการทดสอบให้เกิดการงอตัวโดยใช้หัวกด (Indentor) ซึ่งกคลงตัวจากกับชิ้นทดสอบที่อยู่ในลักษณะแนวอนโดยมีตัวรองรับ (Supporting Jig) เป็นตัวกำหนดช่วงห่างของตัวรองรับ (Span) การทดสอบในลักษณะนี้ชิ้นทดสอบจะได้รับทั้งแรงเค้นดึง (Tensile Stress) และแรงกด (Compressive Stress) ซึ่งแรงเค้นกดจะเกิดขึ้นบนชิ้นทดสอบ ส่วนแรงเค้นดึงจะเกิดใต้ชิ้นทดสอบค่า Flexural Strength คือ ความเค้นมากที่สุดหาได้ดังสมการที่ 2.3

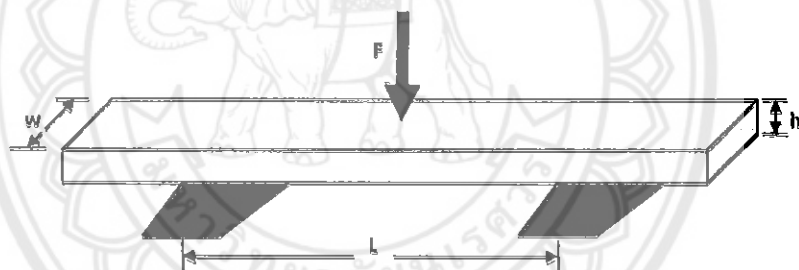
$$\text{Flexural Strength} = \frac{3FL}{2Wh^2} \quad (2.3)$$

F = น้ำหนักที่ทำให้เกิดการแตกของพอลิเมอร์

L = ระยะห่างระหว่างตัวแทนของวัสดุที่รองรับ

W = ความกว้างของตัวอย่าง

H = ความสูงของตัวอย่าง



รูปที่ 2.12 แสดงแผนผังการทดสอบการต้านทานแรงดัดโค้ง

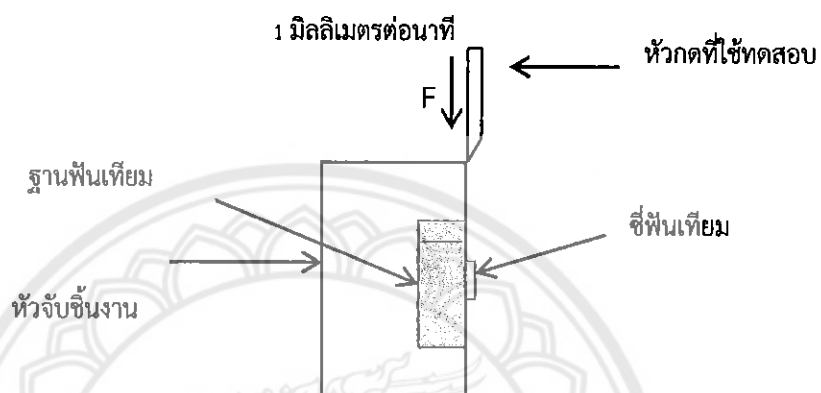
และมอดูลัสของความยืดหยุ่น (Modulus of Elasticity) ในการทำให้ตัวอย่างสามารถคำนวณได้จากสมการที่ 2.4

$$\text{Flexural Modulus} = \frac{L^3 F}{4Wh^3 d} \quad (2.4)$$

d = ระยะที่ถูกตัด ณ จุดศูนย์กลางชิ้นทดสอบ

2.3.3 แรงยึดเฉือน (Shear Bond Strength) [22]

แรงที่มากระทำนานกับพื้นที่ภาคตัดขวางเพื่อให้วัสดุเคลื่อนผ่านกันโดยที่ความเค้นแรงเฉือนมีค่าเท่ากับผลลัพธ์ของแรงเฉือนและพื้นที่ภาคตัดขวางที่นานกับแรงเฉือนที่มากระทำ โดยการทดสอบนี้จะให้แรงกด (Compressive Stress) ที่ตั้งฉากกับชิ้นงานทดสอบจะได้ค่าในการกดมากสุดที่ทำให้วัสดุสองชิ้นหลุดออกจากกันหาได้จากสมการที่ 2.5



รูปที่ 2.13 แสดงการทดสอบแรงยึดเฉือน

นำค่าแรงที่ได้มาคำนวณหาค่าความแข็งแรงพื้นฐานเฉือน (Shear Bond Strength) โดยใช้สูตร

$$\begin{aligned} \text{ความแข็งแรงพื้นฐานเฉือน (SBS)} &= \frac{\text{แรง}}{\text{พื้นที่หน้าตัด}} \\ &= \frac{F}{\pi r^2} \end{aligned} \quad (2.5)$$

เมื่อ F คือ ค่าแรงที่ใช้ทำให้ชิ้นพื้นหลุดออกจากฐานพื้นเทียม (N)

r คือ รัศมีของชิ้นชิ้นพื้นเทียม (วัดค่าแต่ละชิ้น) (m)

หน่วยของความแข็งแรงพื้นฐานเฉือน คือ นิวตันต่อตารางเมตร (N/m^2) หรือ帕斯卡ลหรือแปลงเป็นเมกะ帕斯คาล

2.3.4 การวิเคราะห์ความแปรปรวน (The Analysis of Variance; ANOVA) [27]

การวิเคราะห์ความแปรปรวนทางสถิติ (Analysis of Variance; ANOVA) เป็นวิธีการใช้คำนวณทางสถิติที่ใช้สำหรับการวิเคราะห์ข้อมูลที่ได้จากการทดลอง ผู้ที่พัฒนา คือ R.A. Fisher และได้มีการนำไปใช้วิเคราะห์ข้อมูลในสาขาวิชาต่างๆ มากมาย โดยใช้หลักการแยกความผันแปรหรือความแปรปรวนทั้งหมดของข้อมูลที่เกิดขึ้นจากการทดลองออกเป็นส่วนๆ ตามแหล่งที่ทำให้เกิดความผันแปร (Sources of Variation)

2.3.4.1 การวิเคราะห์ความแปรปรวนทางเดียว (One-way ANOVA)

การวิเคราะห์ความแปรปรวนทางเดียวเป็นการทดสอบโดยพิจารณาเลือกปัจจัยเพียงปัจจัยเดียวจากหลายๆ ปัจจัยที่มีผลต่อการทดลองมากที่สุด แล้วนำมาทำการทดสอบที่วิธีการทดสอบ (Treatment) ที่ต่างกัน แล้วพิจารณาว่าปัจจัยที่นำมาพิจารณานั้นมีผลกระทบต่อการทดลองหรือไม่

ตารางที่ 2.4 การทดลองประเภทวิเคราะห์ปัจจัยเดียว (Experiments with Single Factor)

Treatment	Observations				Total	Average
1	y_{11}	y_{12}	y_{1n}	y_1	y_1
2	y_{21}	y_{22}	y_{2n}	y_2	y_2
:	:	:	:	:	:	:
k	y_{k1}	y_{k2}	y_{kn}	y_k	y_k
					$y..$	$y..$

จากตารางเป็นข้อมูลการทดลองที่มี 1 ปัจจัย ประกอบด้วย k Treatment และ Treatment ประกอบด้วย n Observations

y_{ij} = ค่าสังเกต (Observations) จากวิธีปฏิบัติที่ i ตัวอย่างที่ j

y_i = ผลรวมของค่าสังเกต (Observations) ทุกค่าในวิธีปฏิบัติที่ i

y_i = ค่าเฉลี่ยของค่าสังเกต (Observations) ในวิธีปฏิบัติที่ i

$y..$ = ผลรวมของค่าสังเกต (Observations) ทั้งหมดในการทดลอง

การวิเคราะห์ความแปรปรวนสำหรับหนึ่งปัจจัย

ก. ตั้งสมมติฐาน

$$H_0: \mu_1 = \mu_2 = \mu_3 = \dots = \mu_k$$

$$H_1: \mu_i \neq \mu_j \text{ อย่างน้อย } 1 \text{ คู่}$$

ข. ความแปรปรวน (Total Sum of Squares: SS_T) จะเกิดมาจากการ 2 แหล่ง
คือ

ข.1 ความแปรปรวนที่เกิดวิธีปฏิบัติ (Treatment Sum of Squares:
 SS_{treat})

ข.2 ความแปรปรวนที่เกิดขึ้นในกลุ่ม (Error Sum of Squares: SS_E)

$$\text{ดังนั้น } SS_T = SS_{treat} + SS_E$$

โดย

$$SS_T = \sum_{j=1}^k \sum_{i=1}^n y_{ij}^2 - \frac{\bar{y}^2}{N}$$

$$SS_{treat} = \sum_{i=1}^k \frac{y_i^2}{n_i} - \frac{\bar{y}^2}{N}$$

$$SS_E = SS_T - SS_{treat}$$

เมื่อ N คือ จำนวนค่าสังเกตทั้งหมด และ n_i คือ จำนวนค่าสังเกตในวิธี
ปฏิบัติที่ i

ตารางที่ 2.5 One-Way ANOVA

Source	SS	df	MS	Fc
Between Treatment	SS_{treat}	$k-1$	$MS_{treat} = SS_{treat}/ k-1$	MS_{treat}/ MS_E
Error (Within Treatment)	SS_E	$N-k$	$MS_E = SS_E/ N-k$	
Total	SS_T	$N-1$		

ถ้า $F_c > F_{\alpha, k-1, N-k}$ ให้ปฏิเสธ H_0 ยอมรับ H_1

ถ้า $F_c < F_{\alpha, k-1, N-k}$ ให้ยอมรับ H_0 ปฏิเสธ H_1

2.3.4.2 การวิเคราะห์ความแปรปรวนสองทาง (Two-Way ANOVA)

การวิเคราะห์ความแปรปรวนสองทางเป็นการทดสอบโดยพิจารณาเลือก 2
ปัจจัยพร้อมกัน จากหลาย ๆ ปัจจัยที่มีผลต่อการทดลองมากที่สุด แล้วนำมาทำการทดสอบที่วิธีการ
ทดสอบ (Treatment) ที่ต่างกัน แล้วพิจารณาว่าปัจจัยที่นำมาพิจารณานี้มีผลกระทบต่อการทดลอง
หรือไม่

ตารางที่ 2.6 แสดงการทดลองการวิเคราะห์ความแปรปรวนสองทาง

Factor A	Factor B				Total
	1	2		I	
1	$y_{111} \ y_{112}$... y_{11n}	$y_{121} \ y_{122}$... y_{12n}	$y_{1I1} \ y_{1I2}$... y_{1In}	$y_{1..}$
2	$y_{211} \ y_{212}$... y_{21n}	$y_{221} \ y_{222}$... y_{22n}	$y_{2I1} \ y_{2I2}$... y_{2In}	$y_{2..}$
:	:	:		
:	:	:		
k	$y_{k11} \ y_{k12}$... y_{k1n}	$y_{k21} \ y_{k22}$... y_{k2n}	$y_{kI1} \ y_{kI2}$... y_{kIn}	$y_{k..}$
	$y_{..1}$	$y_{..2}$	$y_{..I}$	$y_{...}$

จากตารางที่ 2.6 แสดงข้อมูลการทดลองที่มีปัจจัยสองปัจจัย คือ ปัจจัย A ซึ่งประกอบด้วย k Treatment; ปัจจัย B ซึ่งประกอบด้วย l Treatment แต่ละ Treatment มี n Observations และมีจำนวนข้อมูลทั้งหมด $N = kn$

y_{ijn} = ค่าสังเกตที่ n จากวิธีปฏิบัติที่ i ปัจจัย A จากวิธีปฏิบัติที่ j ปัจจัย B

$y_{i..}$ = ผลรวมของค่าสังเกต n ค่าในวิธีปฏิบัติที่ i ปัจจัย A

$y_{..j}$ = ผลรวมของค่าสังเกต kn ค่าในวิธีปฏิบัติที่ j ปัจจัย B

y_{ij} = ผลรวมของค่าสังเกต n ค่าในวิธีปฏิบัติที่ i ปัจจัย A วิธีปฏิบัติที่ j ปัจจัย B

$y_{...}$ = ผลรวมของค่าสังเกตทุกค่า ($N=kn$) ในการทดลอง

การวิเคราะห์ความแปรปรวน 2 ทาง

ก. ตั้งสมมติฐาน

$$H_0: (l\beta)_j = 0_k$$

$$H_1: (l\beta)_j \neq 0_k \text{อย่างน้อย 1 ค่า}$$

ข. ความแปรปรวน (Total Sum of Squares : SS_T)

$$SS_T = SS_A + SS_B + SS_{AB} + SS_E$$

$$SS_T = \sum_{n=1}^N \sum_{j=1}^l \sum_{i=1}^k y_{ijn}^2 - \frac{\bar{y}^2}{N}$$

$$SS_A = \sum_{i=1}^k \frac{y_{i..}^2}{ln} - \frac{\bar{y}^2}{N}$$

โดย

$$SS_B = \sum_{j=1}^l \frac{y_{.j.}^2}{kn} - \frac{\bar{y}^2}{N}$$

$$SS_{subtotal} = \sum_{j=1}^l \sum_{i=1}^k \frac{y_{ij.}^2}{n} - \frac{\bar{y}^2}{N}$$

$$SS_{AB} = SS_{subtotal} - SS_A - SS_B$$

$$SS_E = SS_T - SS_A - SS_B - SS_{AB}$$

ตารางที่ 2.7 Two-Way ANOVA

Source	SS	df	MS	Fc
A	SS_A	$k-1$	$SS_A/(k-1)$	MS_A/MS_E^*
B	SS_B	$l-1$	$SS_B/(l-1)$	MS_B/MS_E^{**}
Interaction AB	SS_{AB}	$(k-1)(l-1)$	$SS_{AB}/(k-1)(l-1)$	MS_{AB}/MS_E^{***}
Error	SS_E	$(kl)(n-1)$	$SS_E/(kl)(n-1)$	
Total	SS_T	$N-1$		

ถ้า $F^*c > F_{\alpha, k-1, (kl)(n-1)}$ ให้ปฏิเสธ H_0 ยอมรับ H_1

ถ้า $F^{**}c > F_{\alpha, l-1, (kl)(n-1)}$ ให้ปฏิเสธ H_0 ยอมรับ H_1

ถ้า $F^{***}c > F_{\alpha, k-1, (kl)(n-1)}$ ให้ปฏิเสธ H_0 ยอมรับ H_1

บทที่ 3

วิธีการดำเนินโครงการ

งานวิจัยนี้เป็นการศึกษาผลของการเติมวัสดุเสริมแรงในเรซินอะคริลิกชนิดบ่มตัวด้วยความร้อน โดยการเสริมแรงด้วยวัสดุเสริมแรง 3 ชนิด คือ ชิลิกอนไดออกไซด์ (ขนาด 15 นาโนเมตร และ 40 ไมโครเมตร) อลูมิเนียมออกไซด์ (ขนาด 40 ไมโครเมตร) และไทเทเนียมไดออกไซด์ เพื่อศึกษาขนาดของอนุภาคที่เหมาะสมในการเสริมแรงให้กับเรซินอะคริลิกชนิดบ่มตัวด้วยความร้อน

ปริมาณของวัสดุเสริมแรงเป็นร้อยละ 1 2.5 5 และ 10 %wt/v และมีการปรับสภาพของวัสดุเสริมแรงด้วยสารคู่ควบคุมประเภท 3-เมทาคริลอกซิฟอร์พิลไตรเมทอกซิไซเลน เปรียบเทียบกับวัสดุเสริมแรงที่ไม่ได้ปรับสภาพด้วยสารคู่ควบคุม เพื่อศึกษาความสามารถในการต้านทานแรงดัดโค้ง (Flexural Strength) ความแข็งผิว (Surface Hardness Strength) และแรงยึดติดเฉือน (Shear Bond Strength) ของชิ้นงานทดสอบและดำเนินโครงการตามตารางที่ 1.1

3.1 สารเคมีและวัสดุที่ใช้ในโครงการ

- 3.1.1 เเรซินอะคริลิกชนิดบ่มตัวด้วยความร้อน
- 3.1.2 ชิลิกอนไดออกไซด์ ขนาด 15 นาโนเมตร และ 40 ไมโครเมตร
- 3.1.3 อลูมิเนียมออกไซด์ ขนาด 40 ไมโครเมตร
- 3.1.4 ไทเทเนียมไดออกไซด์
- 3.1.5 3-เมทาคริลอกซิฟอร์พิลไตรเมทอกซิไซเลน (3-Methacryloxypropyltrimethoxysilane)
- 3.1.6 ปูนปลาสเตอร์
- 3.1.7 ขี้ผึ้งทางทันตกรรม

3.2 เครื่องมือที่ใช้ในการทดสอบ

- 3.2.1 ฟลาสโกโลหะสำหรับทำเบ้าหล่อแบบชิ้นงาน
- 3.2.2 เครื่องอัดฟลาสโกไฮดรอลิก
- 3.2.3 เครื่องกำจัดไข่สั่ง
- 3.2.4 เครื่องบ่มอะคริลิกด้วยความร้อน
- 3.2.5 เครื่องขัดผิววัสดุ
- 3.2.6 เครื่องมือทดสอบสมบัติความแข็งผิว (Vickers Hardness Tester)
- 3.2.7 เครื่องมือทดสอบสมบัติทางกลแบบอเนกประสงค์ (Universal Testing Machine)



รูปที่ 3.1 ชุดอุปกรณ์ซั่นรูบปืนทดสอบ

3.3 การเตรียมชิ้นงานทดสอบ

3.3.1 วิธีการเตรียมเบ้าหล่อแบบ

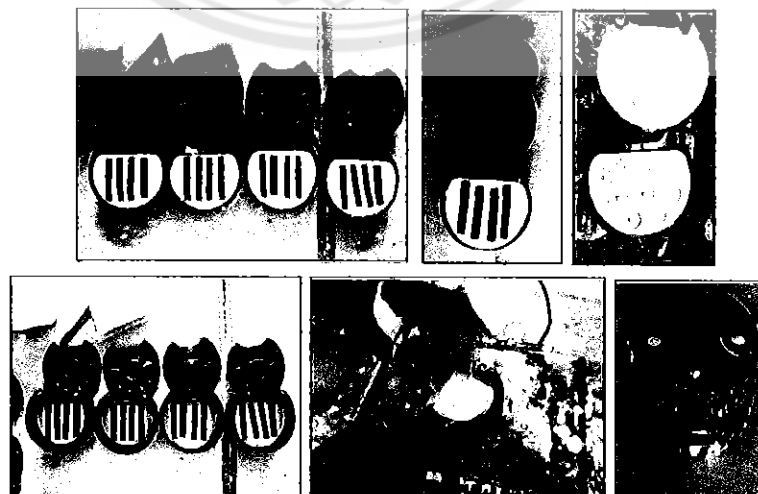
3.3.1.1 เตรียมแม่แบบตามขนาดการทดสอบ โดยใช้ชี้ผึ้งทางทันตกรรมทำแม่แบบ

3.3.1.2 ผสมปูนปลาสเตอร์กับน้ำเทลงในเบ้าหล่อแบบส่วนล่าง หลังจากนั้นนำแม่แบบวางผังลงไป

3.3.1.3 การเทปูนปลาสเตอร์ควรให้ผิวด้านบนเสมอ กับผิวปูนปลาสเตอร์และขอบของเบ้าหล่อแบบล่าง

3.3.1.4 นำเบ้าหล่อแบบบนวางประกับกับเบ้าหล่อแบบล่าง แล้วผสมปูนปลาสเตอร์กับน้ำเทลงไปในเบ้าหล่อให้เต็ม

3.3.1.5 หลังจากปูนปลาสเตอร์แข็งตัวแล้ว นำเบ้าหล่อแบบไปอบด้วยเครื่องกำจัดชี้ผึ้งอบเสร็จแยกเบ้าหล่อแบบบนและล่างออก แล้วใช้น้ำร้อนทำความสะอาดเบ้าหล่อ



รูปที่ 3.2 การเตรียมเบ้าหล่อแบบ

3.3.2 วิธีการเตรียมชิ้นงานทดสอบ

3.3.2.1 ผสมเรซินอะคริลิกกับน้ำมันอนามอร์ตามอัตราส่วนข้างฉลากบรรจุภัณฑ์

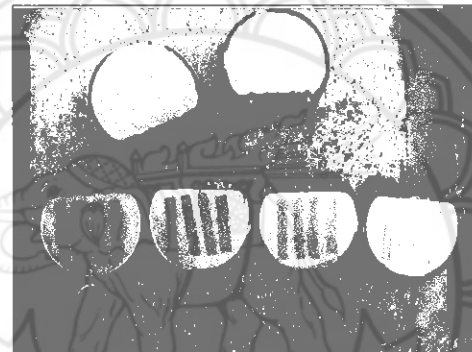
3.3.2.2 ให้นำอะคริลิกที่ผสมเสร็จแล้วฝังลงในแบบแล้วนำไปอัดด้วยเครื่องอัดพลาสติก

3.3.2.3 นำไปบ่มตัวด้วยความร้อนในน้ำที่อุณหภูมิ 100 องศาเซลเซียส ต่อเนื่องเป็นเวลา 2 ชั่วโมง

3.3.2.4 นำชิ้นงานทดสอบที่บ่มเสร็จเรียบร้อยแล้ว ออกจากเบ้าหล่อแบบ นำไปตัดด้วยเครื่องตัดฟันตาม

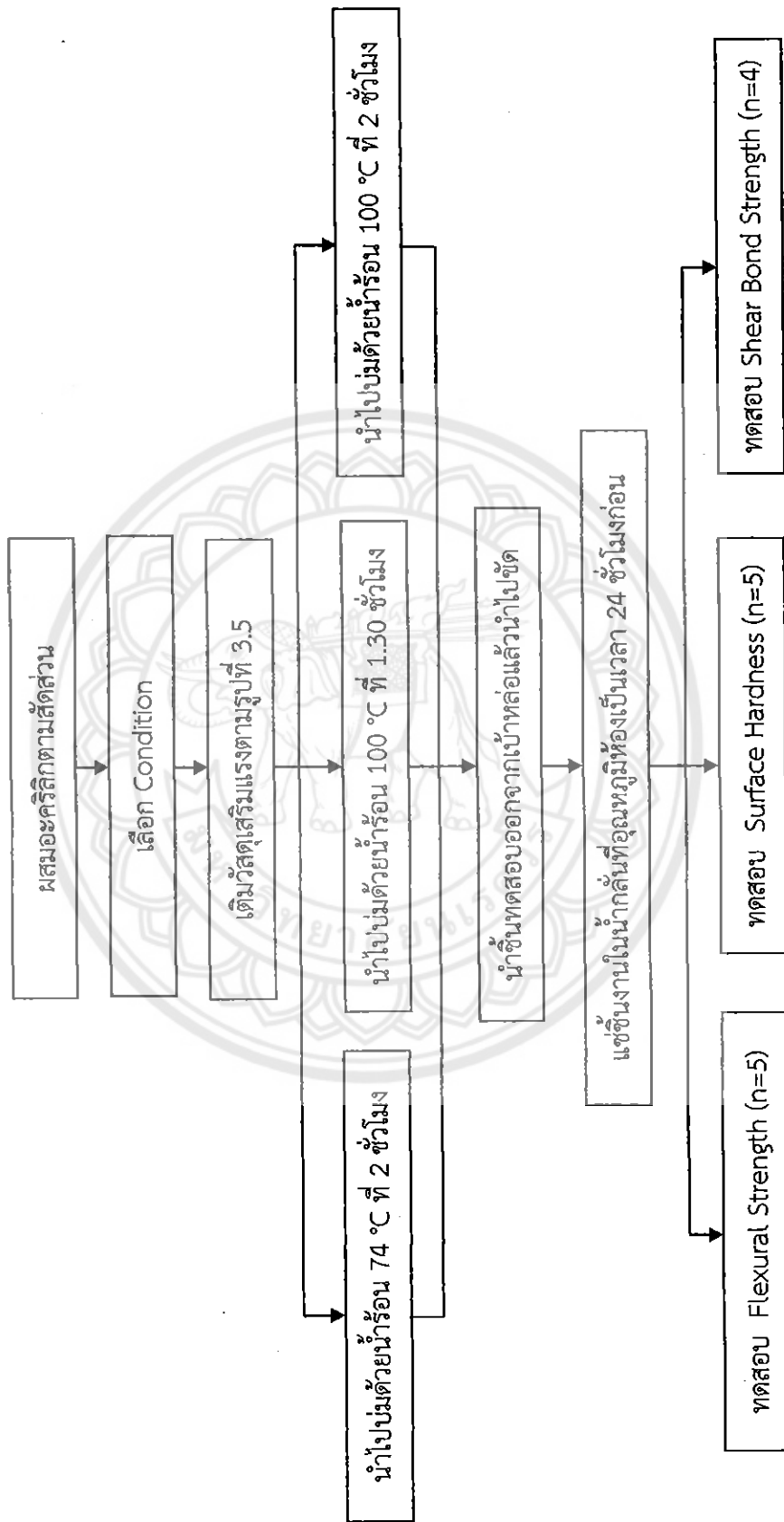
3.3.2.5 ขนาดการทดสอบ แล้วนำไปขัดด้วยเครื่องขัดผิวชิ้นทดสอบแบบจานหมุน

3.3.2.6 เก็บชิ้นตัวอย่างไว้ในน้ำกลั่นที่อุณหภูมิห้องเป็นเวลา 1 วันก่อนทดสอบ



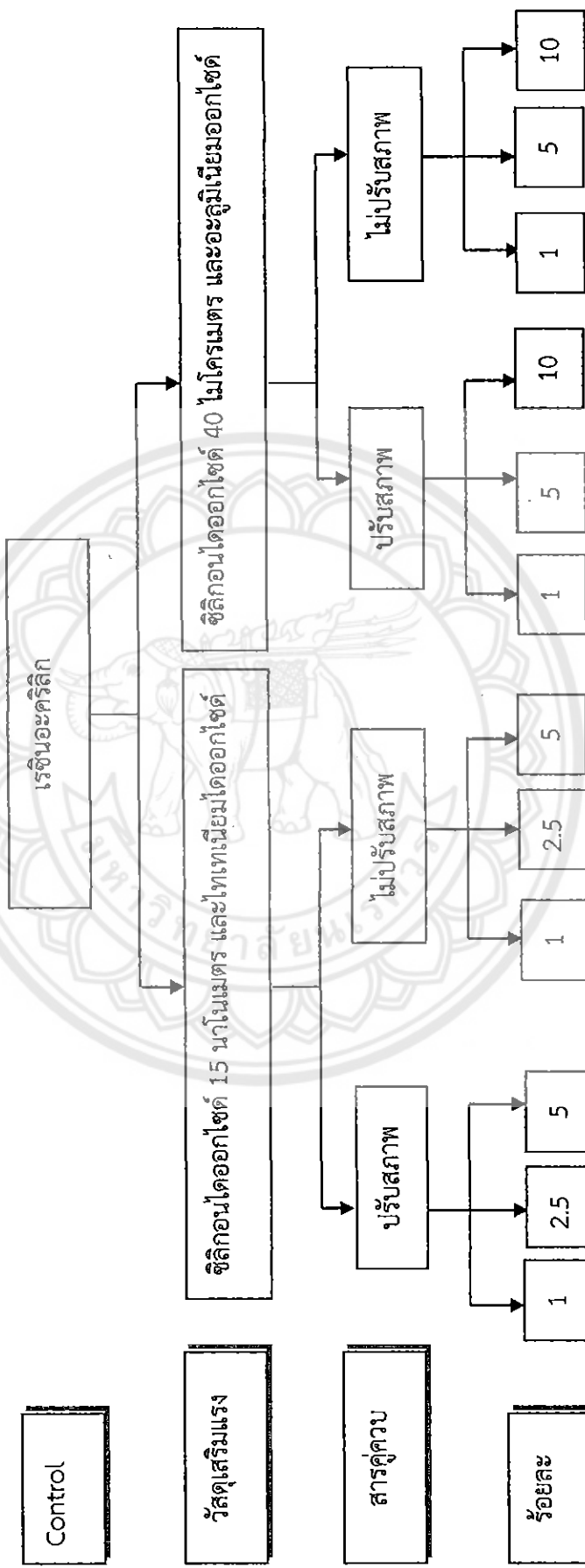
รูปที่ 3.3 เรซินอะคริลิกที่เสร็จสิ้นกระบวนการเตรียมแล้ว

ມະນາຄົມກາງຕໍ່ມະນາຄົມ



รูปที่ 3.4 แผนผังการดำเนินงาน

ແຜນຜົນການເຫັນວິສູດທະເລີມແຮງ



ຮູບທີ 3.5 ແຜນຜົນການເຫັນວິສູດທະເລີມແຮງ

3.4 การทดสอบสมบัติเชิงกลของชิ้นงานทดสอบ

3.4.1 การทดสอบสมบัติความแข็งผิว (Surface Hardness Tester)

สมบัติความแข็งผิว (Surface Hardness) เพื่อศึกษาความแข็งผิวโดยใช้เครื่องวัดความแข็งผิววิกเกอร์รุ่น Matsuzawa Model MXT 70 (Vickers Microhardness Tester) เป็นการทดสอบโดยให้แรงกดลงบนชิ้นทดสอบ กดชิ้นทดสอบด้วยหัวกดวิกเกอร์ (Vicker's Indenter) ด้วยแรงกดและเวลาใช้ค่าตามมาตรฐานของเครื่องทดสอบ จำนวนตัวอย่างที่ใช้ในการทดสอบกลุ่มละ 5 ชิ้น

3.4.1.1 อุปกรณ์ที่ใช้ในการทดสอบสมบัติความแข็งผิว

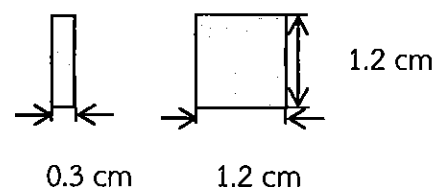
- ก. เครื่องมือวัดความแข็งผิวแบบจุลภาค (Microhardness Tester)



รูปที่ 3.6 การทดสอบสมบัติความแข็งผิว

ที่มา: Shanghai Precision Testing Equipment Co. Ltd.

ข. ชิ้นทดสอบรูปร่างสี่เหลี่ยมผืนผ้าหนา 0.3 เซนติเมตร ยาว 1.2 เซนติเมตร
และกว้าง 1.2 เซนติเมตร



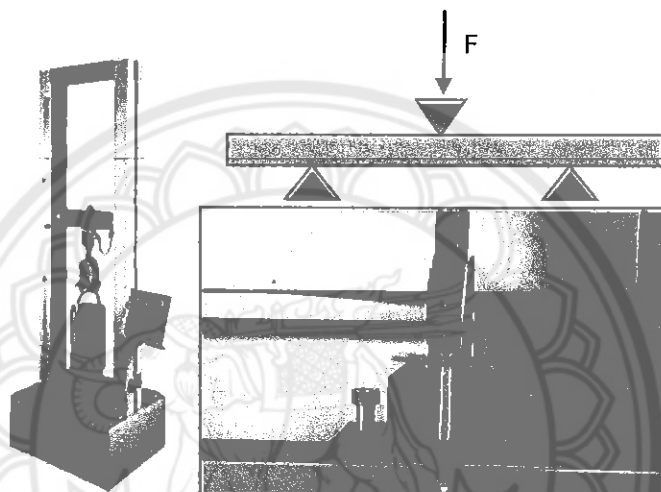
รูปที่ 3.7 ขนาดชิ้นทดสอบความแข็งผิว

3.4.2 การทดสอบสมบัติการต้านทานแรงดัดโค้ง (Flexural Strength Tester)

การต้านทานแรงดัดโค้ง (Flexural Strength) เพื่อศึกษาพฤติกรรมการเปลี่ยนรูปร่างของวัสดุเมื่อได้รับแรงกดที่ได้กำหนด จนได้ผลตามที่กำหนดไว้ในมาตรฐานการทดสอบ จะทำการตรวจสอบโดยการใช้เครื่องทดสอบบนเกลปะรังค์ (Lloyd, LR 10K Plus) ตามมาตรฐาน ISO/FDSI 1567 และ ADA Specification No.12 จำนวนตัวอย่างที่ใช้ในการทดสอบจัดเป็นกลุ่มละ 5 ชิ้น

3.4.2.1 อุปกรณ์ที่ใช้ในการทดสอบสมบัติการต้านทานแรงดัดโค้ง

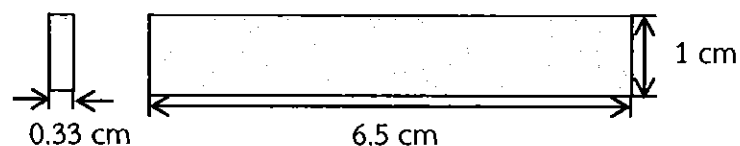
ก. เครื่องมือทดสอบสมบัติการต้านทานแรงดัดโค้ง



รูปที่ 3.8 การทดสอบสมบัติการต้านทานแรงดัดโค้ง

ที่มา: Shanghai Precision Testing Equipment Co. Ltd.

ข. ชิ้นทดสอบรูปทรงสี่เหลี่ยมผืนผ้าหนา 0.33 เซนติเมตร ยาว 6.5 เซนติเมตร และกว้าง 1 เซนติเมตร ให้มีขนาดตามมาตรฐาน ISO/FDSI 1567



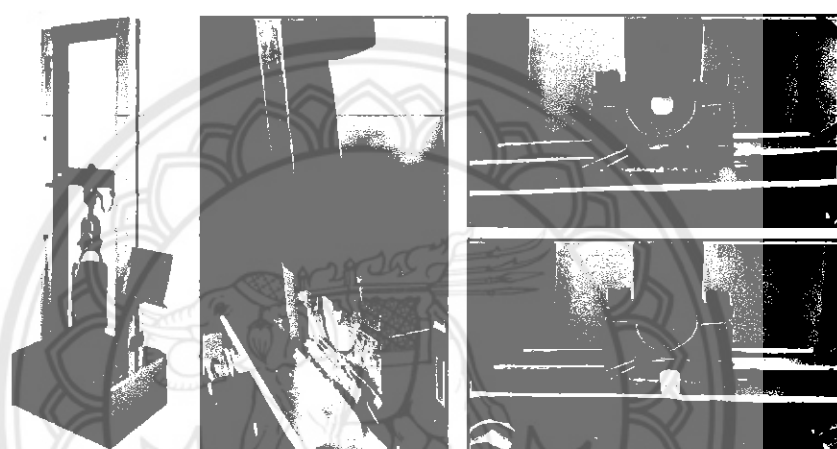
รูปที่ 3.9 ขนาดชิ้นทดสอบตามมาตรฐาน ISO/FDSI 1567

3.4.3 การทดสอบแรงยึดติดเฉือน (Shear Bond Strength Tester)

นำชิ้นงานแต่ละกลุ่มมาทำการทดสอบแรงยึดติดเฉือน ด้วยเครื่องทดสอบเอนกประสงค์ (Lloyd, LR 10K Plus) โดยตั้งค่าความเร็วของหัวทดสอบ 1 มิลลิเมตรต่อนาที และใช้โหลดเซล ขนาด 5 กิโลนิวตัน โดยยึดชิ้นงานเข้ากับเครื่องจับชิ้นงานและเช็คให้แนวแกนของหัวทดสอบขนานไปกับรอยต่อของชิ้นงานทั้งสองขนาดและหัวทดสอบอยู่ใกล้บริเวณรอยต่อมากที่สุด จากนั้นทำการทดสอบแรงยึดเฉือนจนครบถ้วน จำนวนตัวอย่างที่ใช้ในการทดสอบจัดเป็นกลุ่มละ 4 ชิ้น

3.4.3.1 อุปกรณ์ที่ใช้ในการทดสอบสมบัติแรงยึดติดเฉือน

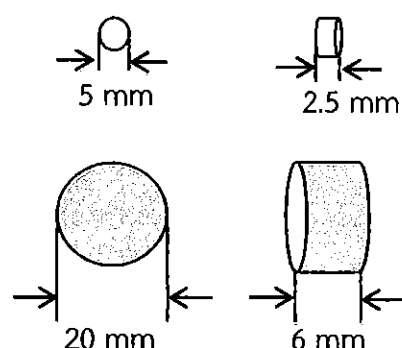
ก. เครื่องมือทดสอบสมบัติแรงยึดติดเฉือน



รูปที่ 3.10 การทดสอบสมบัติแรงยึดติดเฉือน

ที่มา: Shanghai Precision Testing Equipment Co. Ltd.

ข. ชิ้นทดสอบรูปทรงกลมขนาดตามมาตรฐาน ADA Specification No. 15



รูปที่ 3.11 ขนาดชิ้นทดสอบแรงยึดเฉือน

บทที่ 4

ผลการทดลองและการวิเคราะห์

งานวิจัยนี้ได้ศึกษาผลของการเติมวัสดุเสริมแรงทั้งหมด 3 ชนิด (ซิลิกา 15 นาโนเมตร ซิลิกา 40 ไมโครเมตร อลูมิเนียมออกไซด์ 40 ไมโครเมตร และไทเทเนียม dioxide) ในวัสดุชีฟ์ฟันเทียม อะคริลิกชนิดบ่มตัวด้วยความร้อน โดยแบ่งการวิเคราะห์ผลออกเป็น 3 ตอน ได้แก่

ตอนที่ 1 ศึกษาผลการทดสอบสมบัติการต้านทานแรงดัดโค้ง

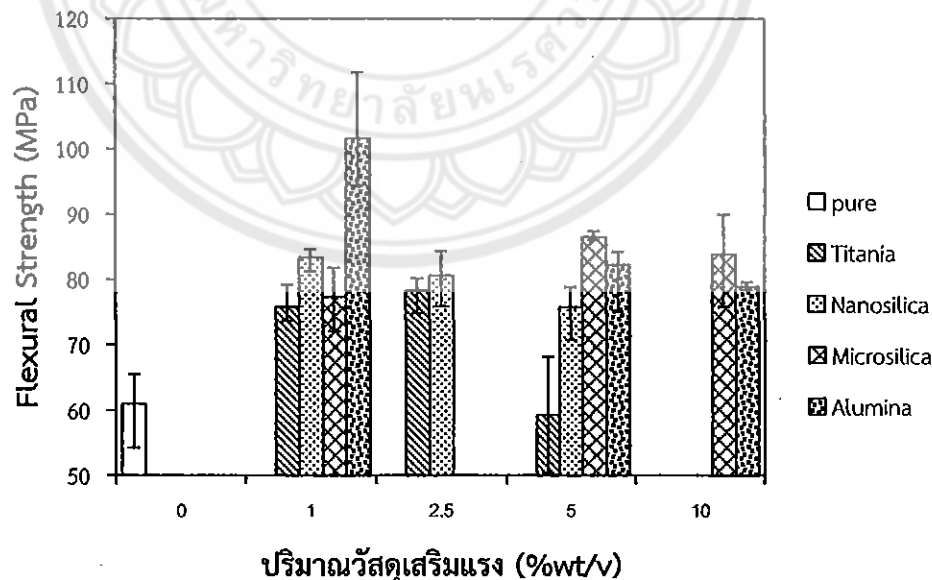
ตอนที่ 2 ศึกษาผลการทดสอบสมบัติความแข็งผิววิกเกอร์

ตอนที่ 3 ศึกษาผลการทดสอบสมบัติแรงยึดเหนือ

โดยทั้ง 3 ตอนที่กล่าวมา จะมีลำดับขั้นตอนการนำเสนอเหมือนกัน คือ ลำดับแรกจะนำเสนอ การวิเคราะห์ผลของการเติมชนิดวัสดุเสริมแรงในวัสดุชีฟ์ฟันเทียมอะคริลิก จากนั้นจะศึกษาผลของปริมาณการเติมวัสดุเสริมแรง ตามด้วยการศึกษาผลของขนาดวัสดุเสริมแรง และลำดับสุดท้ายศึกษาผลของการปรับสภาพผิวของวัสดุเสริมแรงด้วยไชเลนที่มีผลต่อสมบัติเชิงกลของวัสดุชีฟ์ฟันเทียม อะคริลิก โดยมีรายละเอียดผลการทดลองและการวิเคราะห์ผลการทดลองมีดังนี้

4.1 ผลการทดสอบสมบัติการต้านทานแรงดัดโค้ง

4.1.1 ผลการทดสอบเปรียบเทียบชนิดของการเติมวัสดุเสริมแรง



รูปที่ 4.1.1 แผนภูมิแสดงผลของชนิดและปริมาณวัสดุเสริมแรงในวัสดุชีฟ์ฟันเทียมอะคริลิกต่อสมบัติ การต้านทานแรงดัดโค้ง (Flexural Strength)

จากรูปที่ 4.1.1 แสดงผลของชนิดวัสดุเสริมแรงต่อค่าการต้านทานแรงดัดโค้ง พบว่าเมื่อมีการเติมวัสดุเสริมแรงทุกชนิด ทำให้ค่าการต้านทานแรงดัดโค้งเพิ่มขึ้นอย่างมีนัยสำคัญ ($P > 0.05$) โดยที่ซี่ฟันเทียมอะคริลิกที่ไม่ได้มีการเติมวัสดุเสริมแรงมีค่าการต้านทานแรงดัดโค้งเท่ากับ 60.98 MPa เมื่อพิจารณาที่ปริมาณวัสดุเสริมแรง 1 %wt/v พบว่าอุณหภูมิเนียมออกไซด์มีค่าการต้านทานแรงดัดโค้งเฉลี่ยสูงที่สุดเท่ากับ 101.59 MPa ในขณะที่เทาเนี่ยมไดออกไซด์และซิลิกอนไดออกไซด์มีค่าการต้านทานแรงดัดโค้งเฉลี่ยเท่ากับ 75.76 และ 77.33 MPa ตามลำดับ จากการที่สมบัติการต้านทานแรงดัดโค้งเพิ่มขึ้นนั้นสามารถอธิบายได้บนพื้นฐานของทราบสฟอร์เมชันทัฟเฟนนิ่ง (Transformation Toughening) [7] คือ อุณหภูมิเนียมออกไซด์ที่อยู่ในเฟสเทหะโภนัลที่ถูกแรงจากภายนอกกระทำจะเกิดการเปลี่ยนเฟสเป็นมอนคลินิกทำให้เกิดการขยายตัวของเฟสในทิศทางตรงกันข้ามกับทิศของรอยร้าว พลังงานที่เกิดขึ้นจากการเปลี่ยนเฟสดังกล่าวมีปริมาณสูงกว่าพลังงานที่ทำให้เกิดรอยร้าวขยายตัว ทำให้เกิดแรงอัดรอบรอยร้าวส่งผลให้ลดหรือหยุดการขยายตัวของรอยร้าว [26] จึงทำให้วัสดุเสียหายช้าลง ซึ่งอนุภาคต่างชนิดกันอาจมีความสามารถในการเปลี่ยนเฟสต่างกัน ทำให้ค่าการต้านทานแรงดัดโค้งมีค่าที่แตกต่างกันไปด้วย ในขณะที่เมื่อทำการพิจารณาที่ปริมาณการเติมวัสดุเสริมแรง 5 %wt/v ซิลิกอนไดออกไซด์มีค่าการต้านทานแรงดัดโค้งสูงกว่าอุณหภูมิเนียมออกไซด์ เนื่องจากไม่ใช่ปัจจัยด้านชนิดเพียงอย่างเดียวที่มีผล แต่ว่าปัจจัยด้านปริมาณการเติมก็มีผลด้วยเช่นกัน ซึ่งจะได้อภิรายผลต่อไป

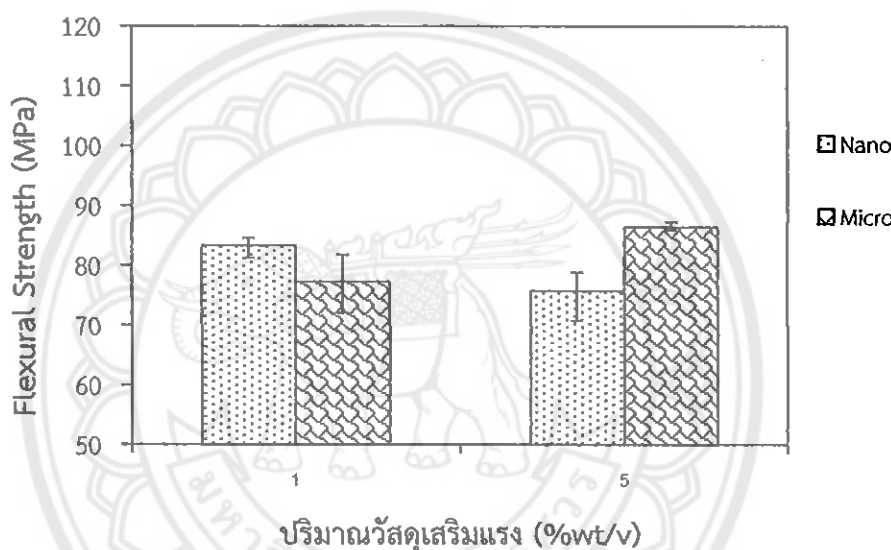
4.1.2 ผลการทดสอบเปรียบเทียบปริมาณของการเติมวัสดุเสริมแรง

จากรูปที่ 4.1.1 แสดงผลของปริมาณวัสดุเสริมแรงต่อค่าการต้านทานแรงดัดโค้ง พบว่า วัสดุเสริมแรงแต่ละชนิดมีอิทธิพลของปริมาณที่ต่างกัน เมื่อพิจารณาวัสดุเสริมแรงเทาเนี่ยมได-ออกไซด์พบว่าเมื่อเติมในปริมาณ 1 %wt/v มีค่าการต้านทานแรงดัดโค้งเฉลี่ยเท่ากับ 75.77 MPa ซึ่งเพิ่มขึ้นอย่างมีนัยสำคัญส่งผลให้ฟันเทียมอะคริลิกที่มีการเติมวัสดุเสริมแรงรับแรงได้ดีขึ้นเมื่อเปรียบเทียบกับซี่ฟันเทียมอะคริลิกที่ไม่ได้มีการเติมวัสดุเสริมแรงและเมื่อเติมวัสดุเสริมแรง 2.5 %wt/v จะทำให้ค่าการต้านทานแรงดัดโค้งมีค่าเฉลี่ยสูงสุดเท่ากับ 78.25 MPa แต่เมื่อเพิ่มเป็น 5 %wt/v กลับส่งผลให้ค่าการต้านทานแรงดัดโค้งลดลง เนื่องจากการเติมวัสดุเสริมแรงนั้น ความมีความเหนานะส่วนของสัดส่วนในการเติมจึงจะส่งผลให้วัสดุมีสมบัติเชิงกลที่ดีขึ้น

พิจารณาที่วัสดุเสริมแรงซิลิกอนไดออกไซด์ พบว่าเมื่อเติมวัสดุเสริมแรงในปริมาณการเติม 1 %wt/v และ 5 %wt/v ทำให้ค่าการต้านทานแรงดัดโค้งเพิ่มขึ้นเรื่อยๆ แต่เมื่อเติมวัสดุเสริมแรงในปริมาณ 10 %wt/v จะมีค่าการต้านทานแรงดัดโค้งลดลงอย่างไม่มีนัยสำคัญ พิจารณาที่วัสดุเสริมแรงอุณหภูมิเนียมออกไซด์ พบว่าเมื่อเติมในปริมาณ 1 %wt/v มีค่าการต้านทานแรงดัดโค้งเฉลี่ยสูงขึ้นมากเท่ากับ 101.59 MPa แต่เมื่อเติมมากกว่านี้จะทำให้ค่าการต้านทานแรงดัดโค้งลดลงอย่างมีนัยสำคัญ

จากผลการทดลองข้างต้น พบว่าการเติมวัสดุเสริมแรงช่วยเพิ่มสมบัติการต้านทานแรงดัด ได้รับได้ด้วยปริมาณการเติมที่เหมาะสม ซึ่งอนุภาคของวัสดุเสริมจะช่วยในเรื่องของการเปลี่ยนเฟสที่ เรียกว่า ทรานส์ฟอร์เมชันทัฟเฟ่นนิ่งดังที่กล่าวไว้ข้างต้น แต่ว่าการเติมวัสดุเสริมแรงในปริมาณที่มากเกินไปจะทำให้ค่าการต้านทานแรงดัดโค้งลดลง เนื่องจากปริมาณของอนุภาคที่มากเกินนั้น จะ ก่อให้เกิดรอยต่อระหว่างพื้นผิวที่มากขึ้น ซึ่งจะส่งผลทำให้วัสดุมีความประمامากขึ้นทันต่อแรงดัดโค้ง ได้ไม่ดี

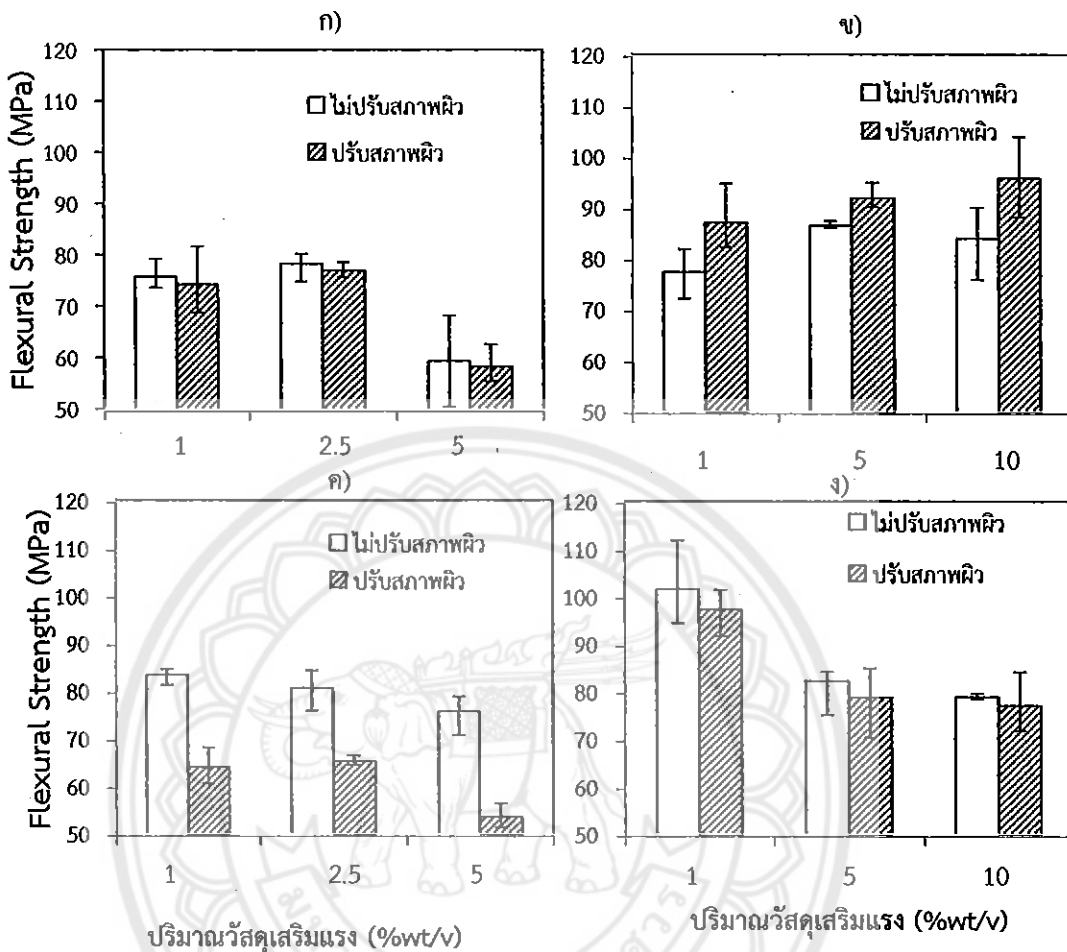
4.1.3 ผลการทดสอบเปรียบเทียบผลของขนาดวัสดุเสริมแรงในวัสดุชี้ฟันเทียมอะคริลิก



รูปที่ 4.1.2 แผนภูมิแสดงผลของขนาดวัสดุเสริมแรงในวัสดุชี้ฟันเทียมอะคริลิกต่อสมบัติการ ต้านทานแรงดัดโค้ง (Flexural Strength)

จากรูป 4.1.2 แสดงผลของขนาดอนุภาควัสดุเสริมแรงซึ่งก้อนได้ออกใช้ด้วยการ ต้านทานแรงดัดโค้ง พบร่วมที่ปริมาณวัสดุเสริมแรง 1 %wt/v ขนาดนาโนเมตรมีค่าการต้านทานแรงดัด โค้งเฉลี่ยมากกว่าขนาดไมโครเมตร คือ 83.35 และ 77.33 MPa ตามลำดับ เนื่องจากขนาดนาโนเมตร มีความหนาแน่นของการจัดเรียงตัวของอนุภาคต่ำกว่าขนาดไมโครเมตร จึงมีการรับแรงได้ดีกว่าขนาด ไมโครเมตร แต่มีพิจารณาที่ปริมาณการเติม 5 %wt/v ขนาดไมโครเมตรมีค่าการต้านทานแรงดัด โค้งต่ำกว่าขนาดนาโนเมตร เนื่องจากเหตุผลในด้านปริมาณการเติมที่เหมาะสม ซึ่งได้กล่าวไว้ข้างต้น

4.1.4 ผลการทดสอบเปรียบเทียบผลของการปรับสภาพผิวของวัสดุเสริมแรง



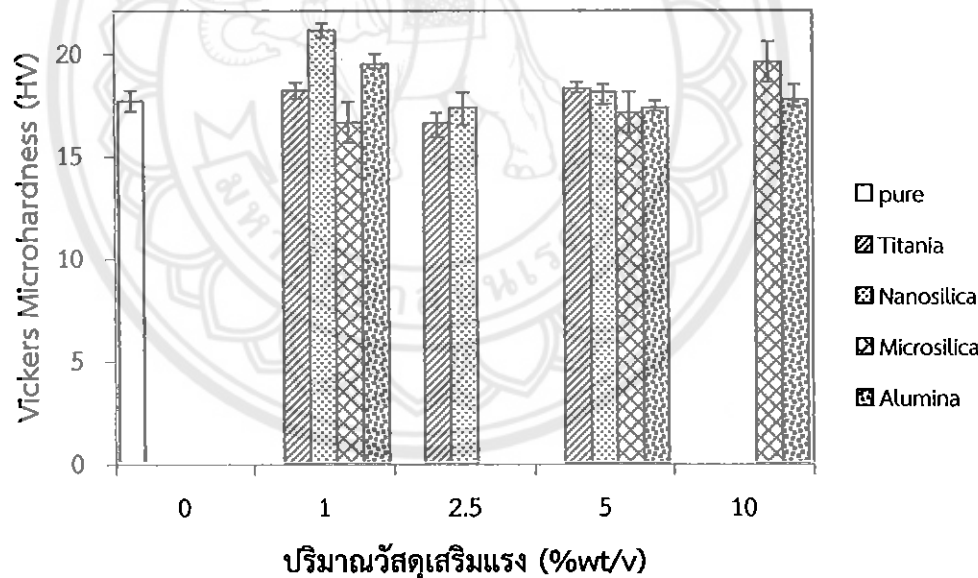
รูปที่ 4.1.3 แผนภูมิแสดงผลของการปรับสภาพผิวของวัสดุเสริมแรงในวัสดุซีฟันเทียนอะคริลิกต่อสมบัติการต้านทานแรงดัดโค้ง (Flexural Strength)

- วัสดุเสริมแรงไห้เทเนียมไดออกไซด์
- วัสดุเสริมแรงซิลิกอนไดออกไซด์ขนาด 40 ไมโครเมตร
- วัสดุเสริมแรงซิลิกอนไดออกไซด์ขนาด 15 นาโนเมตร
- วัสดุเสริมแรงอะลูมิเนียมออกไซด์

จากรูปที่ 4.1.3 แสดงผลของการปรับสภาพผิวของวัสดุเสริมแรงด้วยไขelenต่อสมบัติการต้านทานแรงดัดโค้ง พนวจเมื่อปรับผิวด้วยไขelenกับเท่านี้เนยมไดออกไซด์ อลูมิเนียมออกไซด์ และชิลิกอนไดออกไซด์ขนาดโนเมตรทำให้ค่าการต้านทานแรงดัดโค้งลดลงอย่างมีนัยสำคัญ ในขณะที่ชิลิกอนไดออกไซด์ขนาดไมโครเมตรเมื่อถูกปรับผิวด้วยไขelenทำให้สมบัติการต้านทานการดัดโค้งดีขึ้น ซึ่งขัดกับหลาย ๆ งานวิจัย R. L. Bowen [23] กับ S. C. Bayne [24] ที่รายงานไว้ว่าเมื่อมีการปรับผิวด้วยไขelenจะทำให้อุนภาคซึ่งเข้ากับพอลิเมอร์ได้ไม่ดี ให้เข้ากันได้ด้วยพันธะทางเคมี ซึ่งจะทำให้สมบัติทางกลของวัสดุดีขึ้น แต่จากการทดลองในงานนี้ พนวจเมื่อสมบัติการต้านทานแรงดัดโค้งด้อยลง อาจเป็นเพราะหมู่ OR ของไขelenที่ควรจะจับกับหมู่ชิลิกอนของอุนภาควัสดุเสริมแรงกลับจับกับไขelenกันเองทำให้อุนภาควัสดุเสริมแรงเข้ากับพอลิเมอร์ได้ไม่ดีและเกิดข้อบกพร่องในส่วนที่ไขelenจับกันเอง การกระจายตัวของอุนภาคจึงกระจายได้แย่ส่งผลให้สมบัติการต้านทานแรงดัดโค้งด้อยลง

4.2 ผลการทดสอบสมบัติความแข็งผิววิกเกอร์

4.2.1 ผลการทดสอบเปรียบเทียบชนิดของวัสดุเสริมแรง



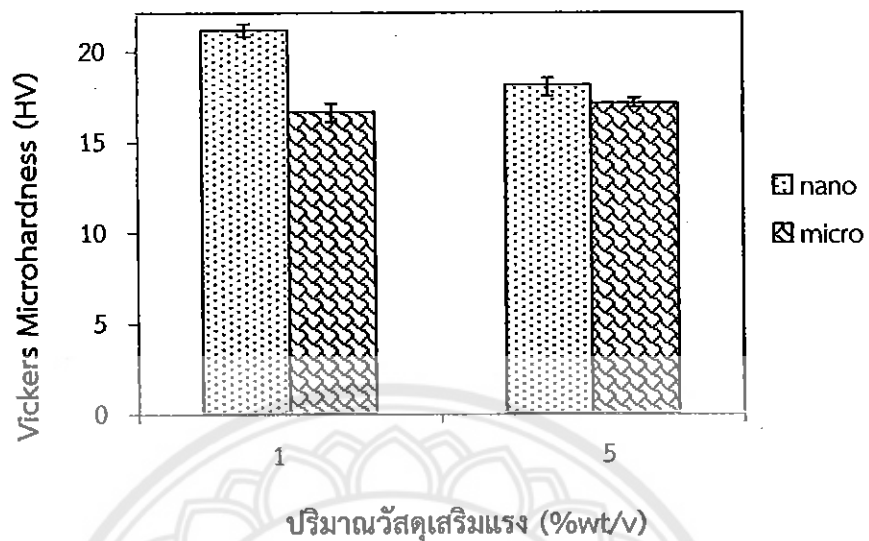
รูปที่ 4.2.1 แผนภูมิแสดงผลของชนิดและปริมาณวัสดุเสริมแรงในวัสดุชีฟันเที่ยมอะคริลิกต่อสมบัติความแข็งผิววิกเกอร์ (Vickers Microhardness Test)

จากรูปที่ 4.2.1 แสดงผลของชนิดวัสดุเสริมแรงต่อความแข็งผิวของซีฟันเทียมอะคริลิกพบว่าการเติมวัสดุเสริมแรงช่วยเพิ่มค่าความแข็งผิวได้ในบางคอนดิชั่นเท่านั้น โดยที่ซีฟันเทียมอะคริลิกที่ไม่มีการเติมวัสดุเสริมแรงมีค่าความแข็งเฉลี่ยเท่ากับ 17.6 HV เมื่อพิจารณาขั้นตอนวัสดุเสริมแรงที่ปริมาณการเติม 1 %wt/v พบว่าอัลูมิเนียมออกไซด์มีค่าความแข็งผิวเฉลี่ยมากที่สุดเท่ากับ 19.43 HV ในขณะที่ไทยเนียมไดออกไซด์และซิลิกอนไดออกไซด์มีค่าความแข็งเฉลี่ยเท่ากับ 18.13 และ 16.56 HV ตามลำดับ เนื่องจากความแข็งของอนุภาคแต่ละชนิดมีค่าความแข็งที่แตกต่างกัน โดยที่อัลูมิเนียมออกไซด์ซึ่งมีค่าสเกลความแข็งของไม้สักมากที่สุดเท่ากับ 9 ของไทยเนียมไดออกไซด์และซิลิกอนไดออกไซด์มีค่าเท่ากับ 5.5-6.5 และ 6-7 ตามลำดับ [25] ซึ่งอนุภาคที่แข็งกว่าจะสามารถรับแรงได้ดีกว่า นอกจากนี้อาจเป็นผลของมวลไม้เล็กน้อยของวัสดุเสริมแรงดังกล่าวด้วย โดยที่อัลูมิเนียม-ออกไซด์มีค่ามวลไม้เล็กน้อยเท่ากับ 101.96 กรัมต่้อมล ไทยเนียมไดออกไซด์และซิลิกอนไดออกไซด์เท่ากับ 79.86 กรัมต่้อมล 60.08 กรัมต่้อมล ตามลำดับ จากการวิเคราะห์ความแปรปรวนทางสถิติ ANOVA ($P<0.05$) พบว่าชนิดของวัสดุเสริมแรงในปริมาณการเติม 5 %wt/v ไม่มีผลต่อค่าความแข็งผิว ให้ผลการทดลองในตาราง ก.2 (ภาคผนวก ก)

4.2.2 ผลการทดสอบเบรียบเทียบปริมาณของการเติมวัสดุเสริมแรง

จากรูปที่ 4.2.1 แสดงผลของปริมาณการเติมวัสดุเสริมแรงต่อค่าความแข็งผิว จากผลการทดลองเมื่อพิจารณาที่ไทยเนียมไดออกไซด์ พบว่าเมื่อเติมวัสดุเสริมแรงเข้าไป ไม่มีผลต่อการปรับปรุงสมบัติความแข็งอย่างไม่มีนัยสำคัญ ($P<0.05$) และเมื่อพิจารณาที่ซิลิกอนไดออกไซด์ พบว่า เมื่อเติมในปริมาณ 1 และ 5 %wt/v ค่าความแข็งลดลงอย่างไม่มีนัยสำคัญ แต่เมื่อเติม 10 %wt/v ค่าความแข็งผิวเพิ่มขึ้นอย่างมีนัยสำคัญเท่ากับ 19.5 HV ในขณะเมื่อพิจารณาที่อัลูมิเนียมออกไซด์ พบว่าเมื่อเติมวัสดุเสริมแรงในปริมาณการเติม 1 %wt/v จะให้ค่าความแข็งเพิ่มขึ้นเป็น 19.43 HV และเมื่อเติมมากกว่า 1 %wt/v ทำให้ค่าความแข็งลดลงอย่างมีนัยสำคัญ เนื่องจากการเติมวัสดุเสริมแรงเพื่อเพิ่มค่าความแข็ง จำเป็นต้องเติมในปริมาณที่เหมาะสมซึ่งจะช่วยเสริมแรงทำให้ค่าความแข็งเพิ่มขึ้น แต่ถ้าเติมในปริมาณที่มากเกินไปจะทำให้มีรูพรุนเกิดขึ้น [7] ซึ่งจะเป็นข้อบกพร่องทำให้สมบัติความแข็งลดลง จากผลการทดลองข้างต้น พบว่าปริมาณที่เหมาะสมของอัลูมิเนียมออกไซด์ และซิลิกอนไดออกไซด์ คือ ปริมาณการเติมที่ 1 %wt/v และ 10 %wt/v หรือมากกว่าตามลำดับ และในส่วนของซิลิกอนไดออกไซด์ขนาดนาโนเมตรมีค่าความแข็งเฉลี่ยสูงสุดที่ปริมาณการเติม 1 %wt/v และค่าความแข็งจะลดลงเมื่อเติมมากกว่า 1 %wt/v เนื่องจากอนุภาคขนาดนาโนเมตรมีสมบัติที่ง่ายต่อการรวมตัวกัน ซึ่งจะเป็นจุดบกพร่องทำให้สมบัติความแข็งลดลง

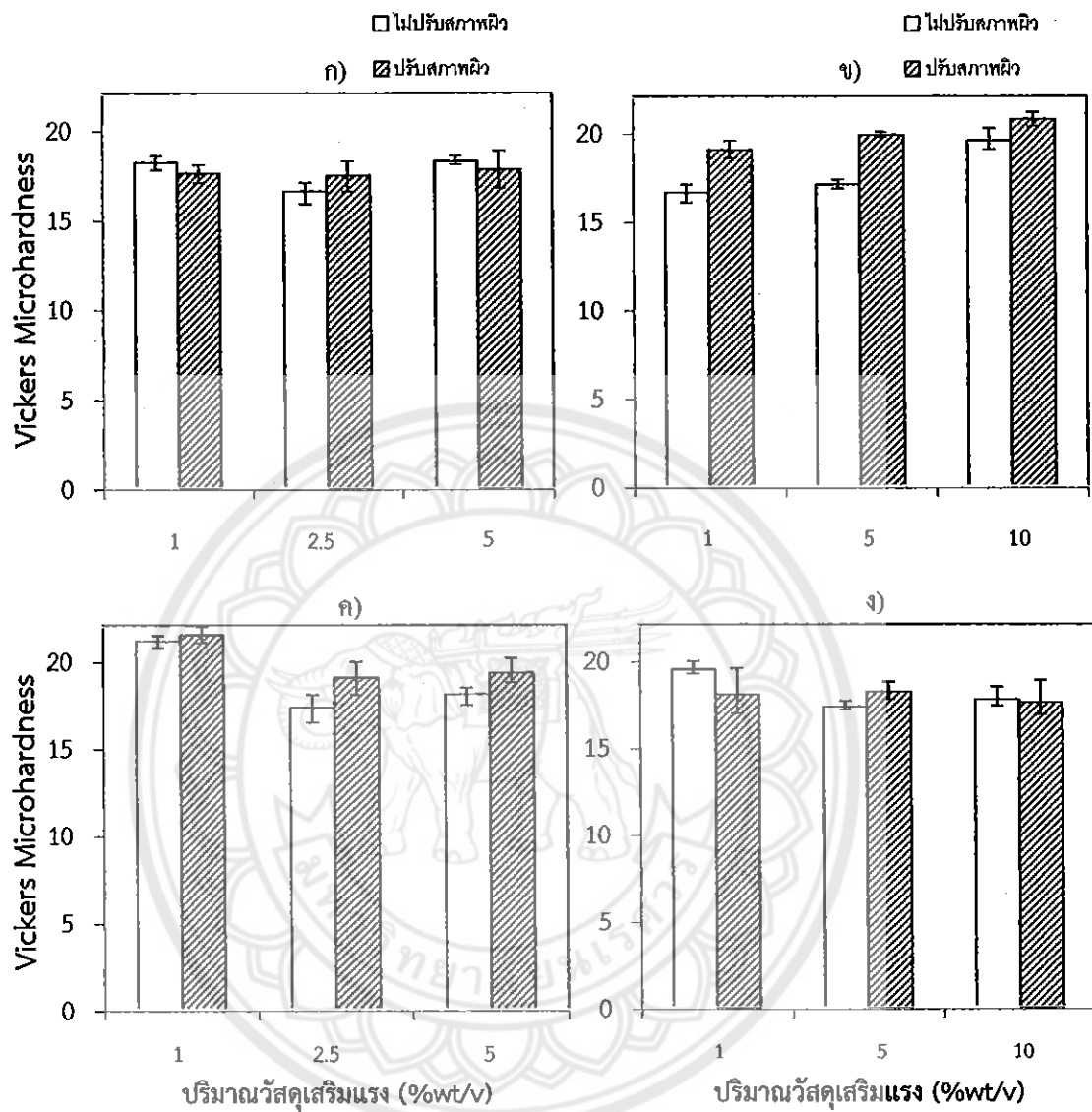
4.2.3 ผลการทดสอบเปรียบเทียบผลของขนาดวัสดุเสริมแรงในวัสดุชีพน์เพิ่มอะคริลิก



รูปที่ 4.2.2 แผนภูมิแสดงผลของขนาดวัสดุเสริมแรงในวัสดุชีพน์เพิ่มอะคริลิกต่อสมบัติความแข็งผิววิกเกอร์ (Vickers Microhardness Test)

จากรูปที่ 4.2.2 แสดงผลของขนาดอนุภาคชิลิกอนไดออกไซด์ต่อค่าความแข็งผิวทั้งปริมาณการเติมวัสดุเสริมแรงที่ 1 และ 5 %wt/v อนุภาคขนาดนาโนเมตรให้ค่าความแข็งผิวมากกว่าขนาดไมโครเมตร เนื่องจากขนาดนาโนเมตรมีความหนาแน่นในการจัดเรียงตัว (Packing Density) มากกว่าขนาดไมโครเมตร [11] จึงเป็นสาเหตุทำให้ขนาดนาโนเมตรให้ค่าความแข็งที่มากกว่าขนาดไมโครเมตร

**4.2.4 ผลการทดสอบเปรียบเทียบผลของการปรับสภาพผิวของวัสดุเสริมแรงในวัสดุชีพน
เทียมอะคริลิก**



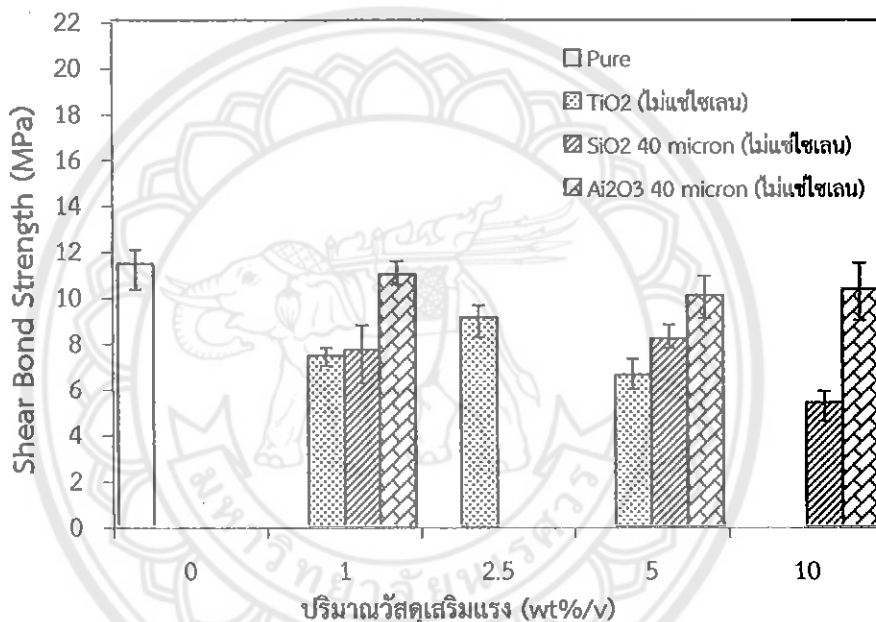
**รูปที่ 4.2.3 แผนภูมิแสดงผลของการปรับสภาพผิวของวัสดุเสริมแรงในวัสดุชีพนเทียมอะคริลิกต่อ
สมบัติความแข็งผิววิกเกอร์ (Vickers Microhardness Test)**

- ก) วัสดุเสริมแรงไทด์เนียมไดออกไซด์
- ง) วัสดุเสริมแรงซิลิกอนไดออกไซด์ขนาด 40 ไมโครเมตร
- ค) วัสดุเสริมแรงซิลิกอนไดออกไซด์ขนาด 15 นาโนเมตร
- ง) วัสดุเสริมแรงอะลูมิเนียมออกไซด์

จากรูปที่ 4.2.3 แสดงผลของการปรับสภาพผิวของวัสดุเสริมแรงในวัสดุชีฟันเทียมอะคริลิก จากผลการทดลอง พบว่า เมื่อปรับสภาพผิวของวัสดุเสริมแรงให้ทาเนียมไดออกไซด์และอลูมิเนียมออกไซด์มีการปรับปรุงสมบัติความแข็งอย่างไม่มีนัยสำคัญ แต่ในส่วนของซิลิกอนไดออกไซด์ขนาดไม่โคลเมตร และขนาดนาโนเมตรการปรับผิวด้วยไฮเลนมีผลทำให้ค่าความแข็งเพิ่มขึ้นอย่างมีนัยสำคัญ ซึ่งสอดคล้องกับงานวิจัยงานวิจัย R. L. Bowen [23] กับ S. C. Bayne [24] ใช้เคนดังกล่าวจะช่วยเพิ่มการเข้ากันได้ระหว่างอนุภาควัสดุเสริมแรงกับพอลิเมอร์

4.3 ผลการทดสอบสมบัติแรงยึดลือน

4.3.1 ผลการทดสอบเปรียบเทียบชนิดของการเติมวัสดุเสริมแรงในวัสดุชีฟันเทียมอะคริลิก



รูปที่ 4.3.1 แผนภูมิแสดงผลของชนิดและปริมาณวัสดุเสริมแรงในวัสดุชีฟันเทียมอะคริลิก ต่อสมบัติแรงยึดลือน (Shear Bond Strength)

จากรูปที่ 4.3.1 แสดงผลของชนิดวัสดุเสริมแรงในวัสดุชีฟันเทียมอะคริลิกต่อสมบัติแรงยึดลือน พบว่า เมื่อมีการเติมวัสดุเสริมแรงทั้ง 3 ชนิดทำให้ค่าสมบัติแรงยึดติดกับฐานฟันเทียมเฉลี่ยต่ำกว่ารชนอะคริลิกที่ไม่มีการเสริมแรงอย่างมีนัยสำคัญ ($P < 0.05$) เมื่อพิจารณาที่ปริมาณวัสดุเสริมแรง 1 และ 5 %wt/v พบว่า อะลูมิเนียมออกไซด์มีค่าแรงยึดลือนติดแน่นสูงสุดเท่ากับ 10.93 MPa และ 10.02 MPa ตามลำดับ ในขณะที่ไฮเลนไม่ไดออกไซด์มีค่าแรงยึดลือนติดแน่นอยู่สุดเท่ากับ 7.39 MPa และ 6.56 MPa ตามลำดับ และซิลิกอนไดออกไซด์มีค่าแรงยึดลือนติดแน่นอยู่สุดเท่ากับ 7.64 MPa และ 8.13 MPa ตามลำดับ เนื่องจากอะลูมิเนียมไดออกไซด์มีการกระจายตัวของอนุภาคที่ไม่ตี ซึ่งอนุภาคดังกล่าวจะเป็นตัวขัดขวางการยึดติด จึงทำให้บริเวณผิวสัมผัสระหว่างฐานฟันเทียมกับชีฟันเทียมอาจมีอนุภาคอยู่น้อย จึงทำให้ชีฟันเทียมกับฐานฟันเทียมมีค่าแรงยึดลือนติดที่สูง ในทางตรงกันข้าม

ชิลิกอนไดออกไซด์และไทเทเนียมไดออกไซด์มีการกระจายตัวของอนุภาคที่ดีกว่าอะลูมิเนียมออกไซด์ จึงมีค่าแรงยึดติดที่ต่ำกว่า ให้ผลการทดลองในตาราง ก.3 (ภาคผนวก ก)

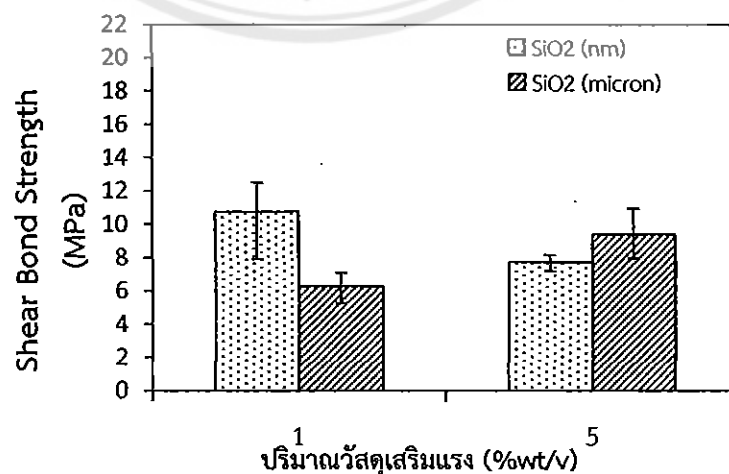
4.3.2 ผลการทดสอบเปรียบเทียบปริมาณการเติมวัสดุเสริมแรงในวัสดุซีฟันเทียมอะคริลิก

จากรูปที่ 4.3.1 แสดงผลปริมาณวัสดุเสริมแรงในวัสดุซีฟันเทียมอะคริลิกต่อสมบัติแรงยึด เนื่อง เมื่อพิจารณาที่ไทเทเนียมไดออกไซด์ พบร่วมนี้่มีการเติมวัสดุเสริมแรงในปริมาณ 1 2.5 และ 5 %wt/v มีค่าแรงยึดติดเฉลี่ยเท่ากับ 7.39 9.06 และ 6.56 MPa ตามลำดับ จะเห็นว่าที่ปริมาณ 2.5 %wt/v มีค่าแรงยึดติดเฉลี่ยมากสุด เนื่องจากอนุภาคที่ผิวจะทำหน้าที่ช่วยเพิ่มแรงเสียดทาน จึง ทำให้ที่ 2.5 %wt/v มีค่าแรงยึดติดเฉลี่ยมากกว่า 1 %wt/v แต่เมื่อเติมถึง 5 %wt/v อนุภาคอาจมาก เกินไปจนไปขัดขวางการยึดติดระหว่างซีฟันเทียมกับฐานฟันเทียมและทำให้เนื้อพอลิเมอร์เหลือน้อย จึงส่งผลให้แรงยึดติดต่ำลงอย่างมีนัยสำคัญ

พิจารณาที่ชิลิกอนไดออกไซด์ พบร่วมนี้่มีการเติมที่ 1 5 และ 10 %wt/v มีค่าแรงยึด ติดเฉลี่ยเท่ากับ 7.64 8.13 และ 5.33 MPa ตามลำดับ จะเห็นว่าที่ปริมาณ 5 %wt/v มีค่าแรงยึดติด เฉลี่ยมากสุด เนื่องจากอนุภาคที่ผิวจะทำหน้าที่ช่วยเพิ่มแรงเสียดทาน จึงทำให้ที่ 5 %wt/v มีค่าแรง ยึดติดเฉลี่ยมากกว่า 1 %wt/v แต่เมื่อเติมถึง 10 %wt/v อนุภาคของวัสดุเสริมแรงอาจมากจนทำให้ เข้าไปแทนที่ของเนื้อพอลิเมอร์ทำให้เนื้อพอลิเมอร์น้อยลง จึงส่งผลให้แรงยึดติดต่ำลงอย่างมี นัยสำคัญ

เมื่อพิจารณาที่อะลูมิเนียมออกไซด์พบว่า เมื่อมีการเติมที่ 1 5 และ 10 %wt/v มีค่าแรง ยึดติดเฉลี่ยเท่ากับ 10.93 10.02 และ 10.29 MPa ตามลำดับ จะเห็นว่าเมื่อเพิ่มปริมาณวัสดุเสริมแรง จะทำให้ค่าแรงยึดติดลดลงอย่างไม่มีนัยสำคัญ

4.3.3 ผลการทดสอบเปรียบเทียบผลของขนาดวัสดุเสริมแรงในวัสดุซีฟันเทียมอะคริลิก



รูปที่ 4.3.2 แผนภูมิแสดงผลของขนาดวัสดุเสริมแรงในวัสดุซีฟันเทียมอะคริลิกต่อสมบัติแรงยึดเฉลี่ย

จากรูปที่ 4.3.2 แสดงผลของขนาดวัสดุเสริมแรงในวัสดุชีพนที่ยึดเคลือบต่อสมบัติแรงยืดเฉือนติด โดยเปรียบเทียบที่ชิลิกอนไดออกไซด์ขนาดอนุภาค 15 นาโนเมตร กับ 40 ไมโครเมตร เมื่อพิจารณาที่ปริมาณการเติม 1 %wt/v จะเห็นว่าที่ขนาดนาโนเมตรมีค่าสมบัติแรงยืดเฉือนเฉลี่ยเท่ากับ 9.7 MPa ในขณะที่ชิลิกอนไดออกไซด์ขนาดไมโครเมตรมีค่าแรงยืดติดเฉลี่ยเท่ากับ 7.64 MPa ซึ่งน้อยกว่าขนาดนาโนเมตรอย่างมีนัยสำคัญ เนื่องจากอนุภาคขนาดนาโนเมตรมีการกระจายตัวของอนุภาคที่มากพอในการช่วยเพิ่มแรงเสียดทานระหว่างวัสดุชีพนที่ยึดกับฐานฟันเทียม ในขณะที่อนุภาคไมโครเมตรมีการกระจายตัวที่แยกกันอยู่ในปริมาณ 1 %wt/v ทำหน้าที่เป็นตัวขัดขวางการยึดติดระหว่างชีพนที่ยึดกับฐานฟันเทียม เมื่อพิจารณาที่ปริมาณ 5 %wt/v จะเห็นว่าที่ขนาดนาโนเมตรมีสมบัติแรงยืดเฉือนต่ำกว่าอนุภาคไมโครเมตรอย่างมีนัยสำคัญ คือเท่ากับ 3.77 และ 5.33 MPa ตามลำดับ เนื่องมาจากการขนาดนาโนเมตรที่ปริมาณการเติม 5 %wt/v มีปริมาณอนุภาคมากเกินไป ทำให้เนื้อพอลิเมอร์น้อยลงส่งผลให้แรงยืดติดเฉือนน้อยลงเช่นกัน ในขณะที่ขนาดไมโครเมตรที่ปริมาณการเติม 5 %wt/v มีปริมาณอนุภาคที่มากพอในการช่วยเพิ่มแรงเสียดทานระหว่างวัสดุชีพนที่ยึดกับฐานฟันเทียมดังที่กล่าวไว้ข้างต้น



บทที่ 5

สรุปผลและข้อเสนอแนะ

5.1 สรุปผลการทดลอง

5.1.1 ศึกษาผลของชนิดวัสดุเสริมแรงต่อความแข็งผิว ค่าการต้านทานแรงดัดโค้ง และแรงยึดติดเฉือน

จากผลการทดลองชนิดของวัสดุเสริมแรงประกอบด้วย ชิลิกอนไดออกไซด์ ไททาเนียม-ไดออกไซด์ และอะลูมิเนียมออกไซด์ พบร่องรอยของอะลูมิเนียมออกไซด์ให้ค่าความแข็งผิว ค่าการต้านทานแรงดัดโค้ง และแรงยึดติดเฉือนเฉลี่ยสูงที่สุด คือ 19.43 HV 101.59 MPa และ 10.93 MPa ตามลำดับ

5.1.2 ศึกษาผลของปริมาณวัสดุเสริมแรงต่อความแข็ง การต้านทานแรงดัดโค้ง และแรงยึดติดเฉือน

จากผลการทดลองวัสดุเสริมแรงทั้งหมด 3 ชนิด ประกอบด้วยชิลิกอนไดออกไซด์ ไททาเนียม-ไดออกไซด์ และอะลูมิเนียมออกไซด์รวมทั้งชิลิกอนไดออกไซด์ขนาดนาโนเมตร จะมีปริมาณการเติมที่เหมาะสมกับสมบัติต่างๆ ดังนี้ ชิลิกอนไดออกไซด์ขนาดนาโนเมตรให้ค่าความแข็งผิว ค่าการต้านทานแรงดัดโค้ง และแรงยึดติดเฉือนเฉลี่ยมากที่สุดเท่ากับ 10 %wt/v 5 %wt/v และ 1 %wt/v ตามลำดับ ไททาเนียม-ไดออกไซด์ให้ค่าการต้านทานแรงดัดโค้ง และแรงยึดติดเฉือนเฉลี่ยสูงที่สุดที่ปริมาณ 2.5 %wt/v ในขณะที่ปริมาณการเติมวัสดุเสริมแรงไม่มีผลกับค่าความแข็งผิว อะลูมิเนียม-ออกไซด์ให้ค่าความแข็งผิว ค่าการต้านทานแรงดัดโค้ง และแรงยึดติดเฉือนเฉลี่ยสูงที่สุดที่ปริมาณ 1 %wt/v และชิลิกอนไดออกไซด์ขนาดนาโนเมตรให้ค่าความแข็ง ค่าการต้านทานแรงดัดโค้ง และแรงยึดติดเฉือนเฉลี่ยสูงที่สุดที่ 1 %wt/v

5.1.3 ศึกษาผลของขนาดอนุภาควัสดุเสริมแรงต่อความแข็ง การต้านทานแรงดัดโค้ง และแรงยึดติดเฉือน

จากการศึกษาขนาดของอนุภาคชิลิกอนไดออกไซด์พบว่าขนาดนาโนเมตรให้ค่าความแข็งผิวมากกว่าขนาดไมโครเมตร ในขณะที่ค่าการต้านทานแรงดัดโค้งและแรงยึดติดเฉือนที่ขนาดนาโนเมตรจะให้ค่าสูงกว่าที่ปริมาณการเติม 1 %wt/v ส่วนขนาดไมโครเมตรจะให้ค่าสูงกว่าขนาดนาโนเมตรที่ปริมาณการเติม 5 %wt/v

5.1.4 ศึกษาผลของการปรับผิวสดุสเริมแรงด้วยไข่เล่นต่อความแข็ง การต้านทานแรงดัดโค้ง และแรงยึดติดเฉือน

จากการทดสอบสมบัติเชิงกลทั้ง 3 การทดสอบ พบร้าการปรับสภาพผิวด้วยสารคู่ควบใช่เล่นจะช่วยให้ชิลิกอนได้ออกไซด์ทั้ง 2 ขนาด มีสมบัติความแข็งดีขึ้นอย่างมีนัยสำคัญ แต่วัสดุสเริมแรงชนิด ไททาเนียมได้ออกไซด์และอะลูมิเนียมออกไซด์ เมื่อมีการปรับสภาพผิวด้วยไข่เล่นแล้วจะไม่มีผลต่อสมบัติความแข็ง

ในส่วนของการต้านทานแรงดัดโค้งการปรับสภาพผิวชิลิกอนได้ออกไซด์ขนาดนาโนเมตรไททาเนียมได้ออกไซด์ และอะลูมิเนียมออกไซด์ทำให้สมบัติการต้านทานแรงดัดโค้งลดลง แต่ในทางตรงกันข้ามชิลิกอนได้ออกไซด์ขนาดไมโครเมตรกลับมีสมบัติการต้านทานแรงดัดโค้งเพิ่มขึ้น

ในขณะที่การปรับสภาพผิวชิลิกอนได้ออกไซด์ขนาดนาโนเมตร ชิลิกอนได้ออกไซด์ขนาดไมโครเมตร และไททาเนียมได้ออกไซด์จะช่วยเพิ่มสมบัติแรงยึดเฉือนติดได้อย่างมีนัยสำคัญ แต่ในกรณีของอะลูมิเนียมออกไซด์การปรับสภาพผิวด้วยสารคู่ควบใช่เล่นไม่มีผลกับสมบัติแรงยึดติดเฉือน

5.2 ข้อเสนอแนะ

เนื่องจากโครงการนี้มีความพยายามที่จะปรับสมบัติต้านความแข็งผิว การต้านทานแรงดัดโค้ง และแรงยึดติดเฉือน โดยใช้วัสดุสเริมแรง 3 ชนิด คือ ชิลิกอนได้ออกไซด์ ไททาเนียมได้ออกไซด์ และอะลูมิเนียมออกไซด์ซึ่งเป็นขนาดไมโครเมตรและยังศึกษาขนาดของอนุภาคโดยใช้ชิลิกอนได้ออกไซด์ขนาดนาโนเมตรเปรียบเทียบกับขนาดไมโครเมตร โดยจะศึกษาปริมาณการเติมที่เหมาะสมด้วย นอกจากนี้ยังมีการศึกษาเรื่องการปรับผิวสดุสเริมแรงด้วยไข่เล่น โดยที่จะช่วยเพิ่มการกระจายตัวของอนุภาคในเนื้อพอลิเมอร์ทำให้สมบัติทางกลดีขึ้น ซึ่งปริมาณไข่เล่นที่ใช้เป็นปริมาณที่ได้จากการคำนวณ จากผลการทดลอง พบร้าบางชนิดมีสมบัติทางกลลดลง ซึ่งปริมาณไข่เล่นดังกล่าวอาจจะน้อยไปหรือมากไป ดังนั้นควรมีการศึกษาปริมาณของไข่เล่นด้วย ตลอดจนความมีการวิเคราะห์รูป่างของอนุภาคซึ่งก็มีผลต่อการเข้ากันได้เข่นกัน

เอกสารอ้างอิง

- [1] A.E. Stoia, C. Sinescu, M. Pielmusi, M. Enescu, A. Tudor and R. O. Rominu. (2011). Tensile Testing, A Method Used to Demonstrate The Effect of Organic Solvents on Acrylic Teeth Denture Base Resin Bond Strength. *International Journal of Biology and Biomedical Engineering.*, Vol. 5, pp. 1.
- [2] X. Miao, M. Zhu, Y. Li, Q. Zhang and H. Wang. (2012). Synthesis of Dental Resins Using Diatomite and Nano-Sized SiO₂ and TiO₂. *Materials International.*, Vol. 22, No. 2, pp. 94-99.
- [3] อรุษา สรวารี. (2546). สารเติมแต่งพอลิเมอร์. กรุงเทพฯ: โรงพิมพ์แห่งจุฬาลงกรณ์มหาวิทยาลัย. จุฬาลงกรณ์มหาวิทยาลัย, กรุงเทพฯ.
- [4] F. Kawano, T. Ohguri, T. Ichikawa, I. Mizuno and A. Hasegawa. (2002). Shock Absorbability and Hardness of Commercially Available Denture Teeth. *The International Journal of Prosthodontics.*, pp. 243-247.
- [5] P. Suwannaroop, P. Chaiiareenont, N. Koottathape, H. Takahashi and M. Arksornnukit. (2011). In Vitro Wear Resistance, Hardness and Elastic Modulus of Artificial Denture Teeth. *Dental Material Journal.*, Vol. 30, No. 4, pp. 461-468.
- [6] S. A. Shahdad, J. F. McCabe, S. Bull, S. Rusby and R. W. Wassell. (2007). Hardness Measured With Traditional Vickers and Martens Hardness Methods. *Dental Material.*, pp. 1079-1085.
- [7] M. Vojdani, R. Bagheri and A. A. R. Khaledi. (2012) Effect of Aluminium Oxide Addition on The Flexural Strength, Surface Hardness, and Roughness of Heat-polymerized Acrylic Resin. *Journal of Dental Sciences.*, pp. 238-244.
- [8] F. Unalan and I. Dikbas. (2007). Effect of Mica and Glass on Surface Hardness of Acrylic Resin Teeth Material. *Dental Material Journal.*, Vol. 26, No. 4, pp. 545-548.

เอกสารอ้างอิง (ต่อ)

- [9] M. K. Saritha. (2012). An in Vitro Study to Investigate The Flexural Strength of Conventional Heat Polymerised Denture Base Resin With Addition of Different Percentage of Aluminium Oxide Powder. *Asian Journal of Medical and Clinical Sciences.*
- [10] S. P. Samuel, S. Li, I. Mukherjee, Y. Guo, A. C. Patel, G. Baran and Y. Wei. (2009). Mechanical Properties of Experimental Dental Composites Containing a Combination of Mesoporous and Nonporous Spherical Silica as Fillers. *Dental Materials., Vol. 25*, pp. 296–301.
- [11] H.Wang, Z. Meifang, Y. Li, Q. Zhang and H. Wang. (2011). Mechanical Properties of Dental Resin Composites by Co-filling Diatomite and Nanosized Silica Particles. *Materials Science and Engineering., Vol. 31*, pp. 600–605.
- [12] C. Caeg, K. F. Leinfelder, W. R. Lacefield and W. Bell. (1990). Effectiveness of a Method Used In Bonding Resins to Metal. *J Prosthet Dent., Vol. 64*, pp. 37-41.
- [13] K. B. May, J. Fox, M. E. Razzoog and B. R. Lang. (1995). Silane to Enhance The Bond between Polymethyl Methacrylate and Titanium. *J Prosthet Dent., Vol. 73*, pp. 428-431.
- [14] ณัชธรรม ชูมา และภัทรพร ชุติเนตร. (2555). *ศึกษาสมบัติเชิงกลของฐานฟันเทียมจากโพลิเมธิลเมทاكربิเลตเสริมแรงด้วยเส้นใยแก้ว.* มหาวิทยาลัยราชภัฏเชียงใหม่.
- [15] เจน รัตนไฟศาล. (2533). *หันตัวสตดค่าสครร.* (พิมพ์ครั้งที่สอง), กรุงเทพฯ: บริษัทสำนักพิมพ์ไทย วัฒนาพาณิช จำกัด. กรุงเทพฯ, หน้า 385-387.
- [16] **PolymethylMethacrylate.** Material Safety Data Sheet. Bangs Laboratories, Inc. 9025 Technology Drive. Fishers. Indiana 46038.
- [17] เชาวน์ ศรีเพชรดี. (2010). *การศึกษาการใช้ชิลิกาเจลขนาดนาโนชนิดมีรูพรุนที่สังเคราะห์ จากเก้าแก่นเพื่อเสริมแรงในยางธรรมชาติ โดยกระบวนการโซลเจล.* มหาวิทยาลัยศิลปากร, นครปฐม.

เอกสารอ้างอิง (ต่อ)

- [18] ศูนย์ข้อมูลวัสดุอันตรายและเคมีภัณฑ์. (2544). ซิลิกอนไดออกไซด์ (Silicon Dioxide). สืบค้น เมื่อ 1 สิงหาคม 2556, จาก <http://WWW.pcd.go.th>.
- [19] อนุรัตน์ ภูวนคำ. (2005). การพัฒนาวัสดุเชิงประกลับ อะกูมินา-มูลไล์-เซอร์โคเนียม สำหรับงานทางวิศวกรรม. มหาวิทยาลัยเทคโนโลยีสุรนารี, นครราชสีมา.
- [20] ชนิชา ศุภอมรกุล. (2008). ความต้านทานต่อการสึกของชีพันปลอมอะคริลิเครชันชนิดต่างๆ, จุฬาลงกรณ์มหาวิทยาลัย, กรุงเทพฯ.
- [21] J. F. McCabe. Applied Dental Materials 9 Edition. Blackwell ISBN-13: 978- 1-4051-3961-8.
- [22] บุญเดิศ ภู่เกียรติธรรมกุล. (2543). ความแข็งแรงพันธะเลื่อนของพอร์ซเลนที่มีสูตรที่ปริมาณสูงซึ่งมีติดต่อกับเฟล์สปาทิกพอร์ซเลน หรืออะกูมินส์พอร์ซเลน ด้วยเรซินซีเมนต์ภายใต้การปรับสภาพผิวต่างกัน. จุฬาลงกรณ์มหาวิทยาลัย, กรุงเทพฯ.
- [23] R.L.Bowen. (1963). Properties of a Silica-reinforced Polymer for Denta Restoration. J Am Dent Assoc., Vol. 66, pp. 57-64.
- [24] S. C. Bayne, M. S., Ph.D and F.A.D.M. (2005). Dental Biomaterials: Where are we and Where are we going. J Dent Educ., Vol. 69, pp. 571-85.
- [25] D. Tabor. (2000). The Hardness of Metals. Oxford University Press.
- [26] พีรพงษ์ จันทร์พุ่ม. (2551). เซอร์โคเนียมเซรามิก: เซรามิกทางเลือกสำหรับฟันเทียมบางส่วน ติดแผ่นในฟันหลัง. ว.ทั้น. ปีที่ 58 ฉบับที่ 1 ม.ค.-มี.ค.
- [27] กานต์ ลีวัฒนาเยี่ยงยง. (2552). สถิติวิศวกรรม (Engineering Statistics). ภาควิชาวิศวกรรมอุตสาหการ คณะวิศวกรรมศาสตร์. มหาวิทยาลัยนเรศวร, พิษณุโลก.



ตารางที่ ก.1 ผลการทดสอบสมบัติการต้านทานแรงดึงของเรซินอะคริลิก

ตารางที่ ก.1 (ต่อ) ผลการทดสอบสมบัติการต้านทานแรงดึงของเรซินอะคริลิก

ตารางที่ ก.1 (ต่อ) ผลการทดสอบสมบัติการต้านทานแรงดึงด้วยของเรซินอะคริลิก

ตารางที่ ก.1 (ต่อ) ผลการทดสอบสมบัติการต้านทานแรงดึงดูดคงของเรซินอะคริลิก

ตารางที่ ก.1 (ต่อ) ผลการทดสอบสมบัติการต้านทานแรงดันโค้งของเรซินอะคริลิก

Flexural Strength (MPa)						
ชนิด วัสดุ เสริมแรง	ชื่น ทดสอบ	L(mm)	h(mm)	B(mm)	F _{max} (N)	$F=3FL/2Bh^2$
Pure	1.00	50.00	3.30	9.77	92.89	65.48
	2.00	50.00	3.30	9.37	86.07	63.26
	3.00	50.00	3.37	10.13	83.01	54.21
					AVERAGE	60.98

ตารางที่ ก.2 ผลการทดสอบสมบัติความแข็งผิวของเรซินอะคริลิก

Vickers Microhardness Test (HV)		
ชนิดวัสดุ เสริมแรง	ชื่นทดสอบ ที่	HV
Pure	1	17.10
	2	17.60
	3	18.10
		AVERAGE
		17.60

ตารางที่ ก.2 (ต่อ) ผลการทดสอบสมบัติความแข็งผิวของเรซินอะคริลิก

Vickers Microhardness Test (HV)					
ชนิดวัสดุ เสริมแรง	ร้อยละวัสดุ เสริมแรง %wt/v	ขั้นทดสอบที่	ปรับ สภาพผิว	ไม่ปรับ สภาพผิว	HV
SiO_2 15 nm	1	1	/		21.00
		2	/		21.40
		3	/		21.90
	AVERAGE				21.43
	2.5	1	/		18.00
		2	/		19.10
		3	/		19.90
	AVERAGE				19.00
	5	1	/		18.70
		2	/		19.00
		3	/		20.10
	AVERAGE				19.27
	1	1		/	20.70
		2		/	21.10
		3		/	21.40
	AVERAGE				21.07
	2.5	1		/	16.40
		2		/	17.40
		3		/	18.00
	AVERAGE				17.27
	5	1		/	17.40
		2		/	18.30
		3		/	18.40
	AVERAGE				18.03

ตารางที่ ก.2 (ต่อ) ผลการทดสอบสมบัติความแข็งผิวของเรซินอะคริลิก

Vickers Microhardness Test (HV)					
ชนิดวัสดุ เสริมแรง	ร้อยละวัสดุ เสริมแรง %wt/v	จันทร์ทดสอบที่	ปรับ สภาพผิว	ไม่ปรับ สภาพผิว	HV
SiO_2 40 μm	1	1	/		18.50
		2	/		19.00
		3	/		19.50
		AVERAGE			19.00
	5	1	/		19.70
		2	/		19.80
		3	/		20.00
		AVERAGE			19.83
	10	1	/		20.30
		2	/		20.80
		3	/		21.10
		AVERAGE			20.73
Al_2O_3 40 μm	1	1		/	16.00
		2		/	16.70
		3		/	17.00
		AVERAGE			16.57
	5	1		/	16.80
		2		/	17.00
		3		/	17.30
		AVERAGE			17.03
	10	1		/	19.00
		2		/	19.30
		3		/	20.20
		AVERAGE			19.50

ตารางที่ ก.2 (ต่อ) ผลการทดสอบสมบัติความแข็งผิวของเรซินอะคริลิก

Vickers Microhardness Test (HV)					
ชนิดวัสดุ เสริมแรง	ร้อยละวัสดุ เสริมแรง %wt/v	ขั้นทดสอบที่	ปรับ สภาพผิว	ไม่ปรับ สภาพผิว	HV
Al_2O_3	1	1	/		16.90
		2	/		17.60
		3	/		19.50
	AVERAGE				18.00
	5	1	/		17.70
		2	/		18.00
		3	/		18.70
	AVERAGE				18.13
	10	1	/		16.80
		2	/		16.90
		3	/		18.80
	AVERAGE				17.50
	1	1		/	19.20
		2		/	19.20
		3		/	19.90
	AVERAGE				19.43
	5	1		/	17.10
		2		/	17.10
		3		/	17.60
	AVERAGE				17.27
	10	1		/	17.30
		2		/	17.30
		3		/	18.40
	AVERAGE				17.67

ตารางที่ ก.2 (ต่อ) ผลการทดสอบสมบัติความแข็งผิวของเรซินอะคริลิก

Vickers Microhardness Test (HV)					
ชนิดวัสดุ เสริมแรง	ร้อยละวัสดุ เสริมแรง %wt/v	ชิ้นทดสอบที่	ปรับ สภาพผิว	ไม่ปรับ สภาพผิว	HV
TiO_2	1	1	/		17.00
		2	/		17.60
		3	/		18.00
		AVERAGE			17.53
	2.5	1	/		16.50
		2	/		17.50
		3	/		18.20
		AVERAGE			17.40
5	5	1	/		16.70
		2	/		17.70
		3	/		18.80
		AVERAGE			17.73
	1	1		/	17.70
		2		/	18.20
		3		/	18.50
		AVERAGE			18.13
2.5	2.5	1		/	15.80
		2		/	16.90
		3		/	17.00
		AVERAGE			16.53
	5	1		/	18.00
		2		/	18.10
		3		/	18.50
		AVERAGE			18.20

ตารางที่ ก.3 ผลการทดสอบสมบัติแรงยึดติดเฉือนของเรซินอะคริลิกซีฟันเทียมที่ยึดกับฐานฟันเทียม

Shear Bond Strength; SBS (N/mm^2)								
ชนิด วัสดุ เสริมแรง %wt/v	ร้อยละ วัสดุ เสริมแรง %wt/v	ชิ้น ทดสอบ	ปรับ สภาพ ผิว	ไม่ ปรับ สภาพ ผิว	Area (mm^2)		Fmax (N)	SBS = Fmax/A
					Diameter (mm)	Thickness (mm)		
SiO_2 15 nm	1	1	/		5.39	3.00	201.94	12.48
		2	/		5.76	3.00	205.60	11.89
		3	/		5.54	3.00	131.20	7.89
	AVERAGE							10.76
	2.5	1	/		5.77	3.00	106.67	6.162
		2	/		5.90	3.00	129.98	7.34
		3	/		5.92	3.00	190.13	10.70
	AVERAGE							8.07
	5	1	/		5.75	3.00	140.81	8.16
		2	/		5.75	3.00	134.87	7.81
		3	/		5.35	3.00	115.30	7.18
AVERAGE								7.72
	1	1		/	5.58	3.00	190.91	11.40
		2		/	5.75	3.00	124.72	7.23
		3		/	5.55	3.00	174.29	10.46
	AVERAGE							9.70
	2.5	1		/	5.21	3.00	100.04	6.40
		2		/	5.08	3.00	74.03	4.85
		3		/	5.77	3.00	144.85	8.36
	AVERAGE							6.54
	5	1		/	5.21	3.00	71.79	4.59
		2		/	5.58	3.00	49.70	2.96
		3		/	5.31	3.00	60.00	3.76
AVERAGE								3.77

ตารางที่ ก.3 (ต่อ) ผลการทดสอบสมบัติแรงยึดติดเมื่อเวลาของเรซินอะคริลิกชีฟันเทียมที่ยึดกับฐานฟันเทียม

ตารางที่ ก.3 (ต่อ) ผลการทดสอบสมบัติแรงยึดติดเนื่องของเรซิโนะคริสติกซ์ฟันเทียมที่ยึดกับฐานฟันเทียม

ตารางที่ ก.3 (ต่อ) ผลการทดสอบสมบัติแรงยึดติดเนื่องของเรซินอะคริลิกซีพันเที่ยมที่ยึดกับฐานพ่นเที่ยม

ตารางที่ ก.3 (ต่อ) ผลการทดสอบสมบัติแรงยึดติดเฉือนของเรซินอะคริลิกซีฟันเทียมที่ยึดกับฐานฟันเทียม

Shear Bond Strength; SBS (N/mm^2)					
ชนิดวัสดุเสริมแรง	ชิ้นทดสอบ	Area (mm^2)		Fmax (N)	$SBS = Fmax/A$
		Diameter (mm)	Thickness (mm)		
Pure	1.00	5.90	3.00	212.39	12.00
	3.00	5.49	3.00	169.24	10.28
	4.00	5.57	3.00	199.61	11.95
		AVERAGE		11.41	





ภาคผนวก ข

ผลการวิเคราะห์ ANOVA สมบัติทางกลของเรซินอะคริลิก

ตารางที่ ข.1 ผลการวิเคราะห์ ANOVA สมบัติการต้านทานแรงดึงดูดของเรซินอะคริลิก

One-Way ANOVA (เปรียบเทียบชนิดที่ 1 %wt/v)

Source	SS	df	MS	Fc
Treatment	1257.433	2	628.7166	16.34924
Error (Within Treatment)	230.7324	6	38.4554	
Total	1488.166	8		

One-Way ANOVA (เปรียบเทียบชนิดที่ 5 %wt/v)

Source	SS	df	MS	Fc
Treatment	1279.943	2	639.9713	15.85936
Error (Within Treatment)	242.1175	6	40.35292	
Total	1522.06	8		

One-Way ANOVA (เปรียบเทียบปริมาณการเติมของ SiO₂)

Source	SS	df	MS	Fc
Treatment	1175.946	3	391.982	13.87687
Error (Within Treatment)	225.9772	8	28.24715	
Total	1401.923	11		

One-Way ANOVA (เปรียบเทียบปริมาณการเติมของ Al₂O₃)

Source	SS	df	MS	Fc
Treatment	2491.487	3	830.4957	20.81208
Error (Within Treatment)	319.2361	8	39.90451	
Total	2810.723	11		

One-Way ANOVA (เปรียบเทียบปริมาณการเติมของ TiO₂)

Source	SS	df	MS	Fc
Treatment	862.1111	3	287.3704	8.685271
Error (Within Treatment)	264.6967	8	33.08709	
Total	1126.808	11		

ตารางที่ ข.1 (ต่อ) ผลการวิเคราะห์ ANOVA สมบัติการต้านทานแรงดึงด้วยของเรซินอะคริลิก

One-Way ANOVA (เปรียบเทียบขนาดอนุภาคที่ 1 %wt/v)

Source	SS	df	MS	Fc
Treatment	54.42036	1	54.42036	3.952729
Error (Within Treatment)	55.07117	4	13.76779	
Total	109.4915	5		

One-Way ANOVA (เปรียบเทียบขนาดอนุภาคที่ 5 %wt/v)

Source	SS	df	MS	Fc
Treatment	159.2457	1	159.2457	14.2734
Error (Within Treatment)	44.62727	4	11.15682	
Total	203.873	5		

Two-Way ANOVA (เปรียบเทียบการปรับผิวด้วยไชเลนของนาโนซิลิกา)

Source	SS	df	MS	Fc
A	1630.219	1	1630.219	148.9592
B	288.3184	2	144.1592	13.17237
Interaction AB	39.93554	2	19.96777	1.82453
Error	131.3288	12	10.94406	
Total	2089.802	17		

Two-Way ANOVA (เปรียบเทียบการปรับผิวด้วยไชเลนของไมโครซิลิกา)

Source	SS	df	MS	Fc
A	268.9654	1	268.9654	9.092968
B	148.9425	2	74.47123	2.517664
Interaction AB	39.73359	2	19.8668	0.671641
Error	354.9539	12	29.57949	
Total	812.5954	17		

ตารางที่ ข.1 (ต่อ) ผลการวิเคราะห์ ANOVA สมบัติการด้านทานแรงดึงของเรซินอะคริลิก

Two-Way ANOVA (เปรียบเทียบการปรับผิวด้วยไชเลนของอลูมีนา)

Source	SS	df	MS	Fc
A	44.56514	1	44.56514	1.078866
B	1650.95	2	825.475	19.98372
Interaction AB	4.815949	2	2.407974	0.058294
Error	495.6885	12	41.30737	
Total	2196.02	17		

Two-Way ANOVA (เปรียบเทียบการปรับผิวด้วยไชเลนของไฟฟานีย)

Source	SS	df	MS	Fc
A	7.583818	1	7.583818	0.2885
B	1252.208	2	626.1042	23.81793
Interaction AB	0.118867	2	0.059434	0.002261
Error	315.4451	12	26.28709	
Total	1575.356	17		

ตารางที่ ข.2 ผลการวิเคราะห์ ANOVA สมบัติค่าความแข็งผิวของเรซินอะคริลิก

One-Way ANOVA (เปรียบเทียบชนิดที่ 1 %wt/v)

Source	SS	df	MS	Fc
Treatment	12.36	2	6.181	31.42938
Error (Within Treatment)	1.18	6	0.197	
Total	13.54	8		

One-Way ANOVA (เปรียบเทียบชนิดที่ 5 %wt/v)

Source	SS	df	MS	Fc
Treatment	2.587	2	1.293	15.11688
Error (Within Treatment)	0.513	6	0.086	
Total	3.1	8		

One-Way ANOVA (เปรียบเทียบปริมาณการเติมของ SiO₂)

Source	SS	df	MS	Fc
Treatment	27.41	3	9.136	27.47786
Error (Within Treatment)	2.66	8	0.332	
Total	30.07	11		

One-Way ANOVA (เปรียบเทียบปริมาณการเติมของ Al₂O₃)

Source	SS	df	MS	Fc
Treatment	8.589	3	2.863	12.72469
Error (Within Treatment)	1.8	8	0.225	
Total	10.39	11		

One-Way ANOVA (เปรียบเทียบปริมาณการเติมของ TiO₂)

Source	SS	df	MS	Fc
Treatment	1.743	3	0.581	2.19979
Error (Within Treatment)	2.113	8	0.264	
Total	3.857	11		

ตารางที่ ข.2 (ต่อ) ผลการวิเคราะห์ ANOVA สมบัติค่าความแข็งผิวของเรซินอะคริลิก

One-Way ANOVA (เปรียบเทียบขนาดอนุภาคที่ 1 %wt/v)

Source	SS	df	MS	Fc
Treatment	30.37	1	30.375	157.1121
Error (Within Treatment)	0.773	4	0.1933	
Total	31.15	5		

One-Way ANOVA (เปรียบเทียบขนาดอนุภาคที่ 5 %wt/v)

Source	SS	df	MS	Fc
Treatment	1.5	1	1.5	8.181818
Error (Within Treatment)	0.733	4	0.1833	
Total	2.233	5		

Two-way ANOVA (เปรียบเทียบการปรับผิวด้วยไชเลนของนาโนซิลิกา)

Source	SS	df	MS	Fc
A	5.56	1	5.556	12.1803
B	33.5	2	16.74	36.7028
Interaction AB	1.43	2	0.717	1.57247
Error	5.47	12	0.456	
Total	45.9	17		

Two-way ANOVA (เปรียบเทียบการปรับผิวด้วยไชเลนของไมโครซิลิกา)

Source	SS	df	MS	Fc
A	20.9	1	5.556	12.1803
B	17.4	2	16.74	36.7028
Interaction AB	2.01	2	0.717	1.57247
Error	2.31	12	0.456	
Total	42.6	17		

ตารางที่ ข.2 (ต่อ) ผลการวิเคราะห์ ANOVA สมบัติค่าความแข็งผิวของเรซินอะคริลิก

Two-Way ANOVA (เปรียบเทียบการปรับผิวด้วยไข่เลนของอัญมีนา)

Source	SS	df	MS	Fc
A	0.27	1	0.269	0.40401
B	4.66	2	2.332	3.50334
Interaction AB	3.98	2	1.991	2.99082
Error	7.99	12	0.666	
Total	16.9	17		

Two-Way ANOVA (เปรียบเทียบการปรับผิวด้วยไข่เลนของไก่เนย)

Source	SS	df	MS	Fc
A	0.03	1	0.027	0.05911
B	3.41	2	1.707	3.70688
Interaction AB	1.88	2	0.941	2.04222
Error	5.53	12	0.461	
Total	10.8	17		

ตารางที่ ข.3 ผลการวิเคราะห์ ANOVA สมบัติแรงยึดติดเนื่องของเรซินอะคริลิก

One-Way ANOVA (เปรียบเทียบชนิดที่ 1 %wt/v)

Source	SS	df	MS	Fc
Treatment	32.4934	2	16.2467	16.7072
Error (Within Treatment)	5.8346	6	0.9724	
Total	38.3280	8		

One-Way ANOVA (เปรียบเทียบชนิดที่ 5 %wt/v)

Source	SS	df	MS	Fc
Treatment	18.0296	2	9.0148	16.8436
Error (Within Treatment)	3.2112	6	0.5352	
Total	21.2409	8		

One-Way ANOVA (เปรียบเทียบปริมาณการเติมของ SiO_2)

Source	SS	df	MS	Fc
Treatment	62.3581	3	20.7860	19.7202
Error (Within Treatment)	8.4324	8	1.0541	
Total	70.7905	11		

One-Way ANOVA (เปรียบเทียบปริมาณการเติมของ Al_2O_3)

Source	SS	df	MS	Fc
Treatment	3.4880	3	1.1627	1.2546
Error (Within Treatment)	7.4138	8	0.9267	
Total	10.9018	11		

ตารางที่ ข.3 (ต่อ) ผลการวิเคราะห์ ANOVA สมบัติแรงยึดติดเฉือนของเรซินอะคริลิก

One-Way ANOVA (เปรียบเทียบปริมาณการเติมของ TiO₂)

Source	SS	df	MS	Fc
Treatment	40.9923	3	13.6641	25.3792
Error (Within Treatment)	4.3072	8	0.5384	
Total	45.2995	11		

One-Way ANOVA (เปรียบเทียบขนาดอนุภาคที่ 1 %wt/v)

Source	SS	df	MS	Fc
Treatment	14.9714	1.0000	14.9714	4.1157
Error (Within Treatment)	14.5505	4.0000	3.6376	
Total	29.5219	5.0000		

One-Way ANOVA (เปรียบเทียบขนาดอนุภาคที่ 5 %wt/v)

Source	SS	df	MS	Fc
Treatment	28.5081	1.0000	28.5081	60.3075
Error (Within Treatment)	1.8909	4.0000	0.4727	
Total	30.3990	5.0000		

Two-Way ANOVA (เปรียบเทียบการปรับผิวด้วยไข่เลนของนาโนชิลิกา)

Source	SS	df	MS	Fc
A	21.3437	1.0000	21.3437	6.2153
B	62.1269	2.0000	31.0635	9.0457
Interaction AB	7.1955	2.0000	3.5978	1.0477
Error	41.2087	12.0000	3.4341	
Total	131.8749	17.0000		

ตารางที่ ข.3 (ต่อ) ผลการวิเคราะห์ ANOVA สมบัติแรงยึดติดเฉือนของเรซินอะคริลิก

Two-Way ANOVA (เปรียบเทียบการปรับผิวด้วยไชเลนของไม้โครงซิติก)

Source	SS	df	MS	Fc
A	7.1842	1.0000	7.1842	4.3580
B	19.7929	2.0000	9.8965	6.0033
Interaction AB	7.0599	2.0000	3.5300	2.1413
Error	19.7821	12.0000	1.6485	
Total	53.8191	17.0000		

Two-Way ANOVA (เปรียบเทียบการปรับผิวด้วยไชเลนของอลูมีนา)

Source	SS	df	MS	Fc
A	5.4528	1.0000	5.4528	1.3298
B	2.9388	2.0000	1.4694	0.3584
Interaction AB	5.2701	2.0000	2.6350	0.6426
Error	49.2042	12.0000	4.1003	
Total	62.8659	17.0000		

Two-Way ANOVA (เปรียบเทียบการปรับผิวด้วยไชเลนของไทยาเนีย)

Source	SS	df	MS	Fc
A	21.3360	1.0000	21.3360	8.7380
B	4.9664	2.0000	2.4832	1.0170
Interaction AB	15.7649	2.0000	7.8824	3.2282
Error	29.3011	12.0000	2.4418	
Total	71.3683	17.0000		

ตารางที่ ข.4 ตารางค่าวิกฤติแจกแจง F ที่เลขนัยสำคัญเท่ากับ 0.05

	1	2	3	4	5	6	7	8	9	10
1	161.45	199.5	215.71	224.58	230.16	233.99	236.77	238.88	240.5	241.88
2	18.51	19	19.16	19.25	19.3	19.33	19.35	19.37	19.39	19.4
3	10.13	9.55	9.28	9.12	9.01	8.94	8.89	8.85	8.81	8.79
4	7.71	6.94	6.59	6.39	6.26	6.16	6.09	6.04	6	5.96
5	6.61	5.79	5.41	5.19	5.05	4.95	4.88	4.82	4.77	4.74
6	5.99	5.14	4.76	4.53	4.39	4.28	4.21	4.15	4.1	4.06
7	5.59	4.74	4.35	4.12	3.97	3.87	3.79	3.73	3.68	3.64
8	5.32	4.46	4.07	3.84	3.69	3.58	3.5	3.44	3.39	3.35
9	5.12	4.26	3.86	3.63	3.48	3.37	3.29	3.23	3.18	3.14
10	4.97	4.1	3.71	3.48	3.33	3.22	3.14	3.07	3.02	2.98
11	4.84	3.98	3.59	3.36	3.2	3.1	3.01	2.95	2.9	2.85
12	4.75	3.89	3.49	3.26	3.11	3	2.91	2.85	2.8	2.75
13	4.67	3.81	3.41	3.18	3.03	2.92	2.83	2.77	2.71	2.67
14	4.6	3.74	3.34	3.11	2.96	2.85	2.76	2.7	2.65	2.6
15	4.54	3.68	3.29	3.06	2.9	2.79	2.71	2.64	2.59	2.54
16	4.49	3.63	3.24	3.01	2.85	2.74	2.66	2.59	2.54	2.49
17	4.45	3.59	3.2	2.97	2.81	2.7	2.61	2.55	2.49	2.45
18	4.41	3.56	3.16	2.93	2.77	2.66	2.58	2.51	2.46	2.41
19	4.38	3.52	3.13	2.9	2.74	2.63	2.54	2.48	2.42	2.38
20	4.35	3.49	3.1	2.87	2.71	2.6	2.51	2.45	2.39	2.35
21	4.33	3.47	3.07	2.84	2.69	2.57	2.49	2.42	2.37	2.32
22	4.3	3.44	3.05	2.82	2.66	2.55	2.46	2.4	2.34	2.3
23	4.28	3.42	3.03	2.8	2.64	2.53	2.44	2.38	2.32	2.28
24	4.26	3.4	3.01	2.78	2.62	2.51	2.42	2.36	2.3	2.26
25	4.24	3.39	2.99	2.76	2.6	2.49	2.41	2.34	2.28	2.24
26	4.23	3.37	2.98	2.74	2.59	2.47	2.39	2.32	2.27	2.22
27	4.21	3.35	2.96	2.73	2.57	2.46	2.37	2.31	2.25	2.2
28	4.2	3.34	2.95	2.71	2.56	2.45	2.36	2.29	2.24	2.19
29	4.18	3.33	2.93	2.7	2.55	2.43	2.35	2.28	2.22	2.18
30	4.17	3.32	2.92	2.69	2.53	2.42	2.33	2.27	2.21	2.17

ประวัติผู้ดำเนินโครงการ



ชื่อ นางสาวกนกพร ศรีวิชา
ภูมิลำเนา 200 หมู่ 4 ต.ท่าพุทราย อ.คลองชลุง
จ.กำแพงเพชร

ประวัติการศึกษา

- จบระดับมัธยมศึกษาจากโรงเรียนคลองชลุณราชภาร
รังสรรค์ จ.กำแพงเพชร
- ปัจจุบันกำลังศึกษาในระดับปริญญาตรีชั้นปีที่ 4
สาขาวิชวกรรมเคมี

คณะวิศวกรรมศาสตร์ มหาวิทยาลัยนเรศวร

E-mail: Kanookporns53@email.nu.ac.th



ชื่อ นายอุดมชัย มน้อย
ภูมิลำเนา 57 หมู่ 3 ต.หลองหลวง อ.ลานกระปือ
จ.กำแพงเพชร

ประวัติการศึกษา

- จบระดับมัธยมศึกษาจากโรงเรียนลานกระปือ
วิทยา จ.กำแพงเพชร
- ปัจจุบันกำลังศึกษาในระดับปริญญาตรีชั้นปีที่ 4
สาขาวิชวกรรมเคมี

คณะวิศวกรรมศาสตร์ มหาวิทยาลัยนเรศวร

E-mail: top_2534@yahoo.com